



การศึกษาอัตราส่วนผสมของอะลูมิเนียม-ทองแดง
โครงสร้างทางจุลภาค และสมบัติทางด้านความแข็ง

EFFECT OF ALUMINUM-COPPER ALLOYS COMPOSITION
ON MICROSTRUCTURE AND HARDNESS PROPERTY

นายอภินันท์ ชัยทรัพย์มงคล รหัส 48365392
นายเฉลิมพล พังแสงสุ รหัส 49360334

วันที่รับ.....	24/๐๘/๒๕๕๔
เลขทะเบียน.....	15515403
เก็บเรียกหนังสือ.....	2/๖
มหาวิทยาลัยนเรศวร ๒๕๗๗	

2553
ปริญญาในพนธน์เป็นส่วนหนึ่งของการศึกษาหลักสูตรปริญญาวิศวกรรมศาสตรบัณฑิต
สาขาวิชาวิศวกรรมวัสดุ ภาควิชาวิศวกรรมอุตสาหการ
คณะวิศวกรรมศาสตร์ มหาวิทยาลัยนเรศวร
ปีการศึกษา 2552



ใบรับรองปริญญาบัตร

ชื่อหัวข้อโครงการ	การศึกษาอัตราส่วนผสมของ อะลูมิเนียม-ทองแಡง ที่มีผลต่อโครงสร้างทาง จุลภาค และสมบัติทางด้านความแข็ง		
ผู้ดำเนินโครงการ	นายอภินันท์ ชัยทรัพย์มงคล	รหัส 48365392	
	นายฉลิมพล พังแสงสุ	รหัส 49360334	
ที่ปรึกษาโครงการ	อาจารย์กฤณนา พูลสวัสดิ์		
สาขาวิชา	วิศวกรรมวัสดุ		
ภาควิชา	วิศวกรรมอุตสาหกรรม		
ปีการศึกษา	2552		

คณะกรรมการคณบดี มหาวิทยาลัยนเรศวร อนุมัติให้ปริญญาบัตรฉบับนี้เป็นส่วนหนึ่ง
ของการศึกษาตามหลักสูตรวิศวกรรมศาสตรบัณฑิต สาขาวิชาวิศวกรรมวัสดุ

.....ที่ปรึกษาโครงการ
(อาจารย์กฤณนา พูลสวัสดิ์)

.....ประธานกรรมการ
(อาจารย์ชุลีพรย์ ป่าໄร์)

.....ธ.ก.ก.ก......กรรมการ
(อาจารย์ธนิกานต์ คงชัย)

.....อ.ดร. วิชิต.....กรรมการ
(อาจารย์ศิริกาญจน์ ขันสัมฤทธิ์)

.....ดร. วิชิต.....กรรมการ
(อาจารย์มานะ วีรวิกรม)

.....ดร. วิชิต.....กรรมการ
(อาจารย์ปิยันันท์ บุญพิชัย)

ชื่อหัวข้อโครงการ	การศึกษาอัตราส่วนผสมของ อะลูมิเนียม-ทองแดง ที่มีผลต่อโครงสร้างทาง จุลภาค และสมบัติทางด้านความแข็ง		
ผู้ดำเนินโครงการ	นายอภินันท์ ชัยทรัพย์มงคล	รหัส 48365392	
	นายเฉลิมพล พังแสงสุ	รหัส 49360334	
ที่ปรึกษาโครงการ	อาจารย์กฤษณา พูลสวัสดิ์		
สาขาวิชา	วิศวกรรมวัสดุ		
ภาควิชา	วิศวกรรมอุตสาหการ		
ปีการศึกษา	2552		

บทคัดย่อ

บริษัทฯ ได้ทำการศึกษาอัตราส่วนผสมของอะลูมิเนียม-ทองแดง ที่มีผลต่อโครงสร้างทางจุลภาค และสมบัติทางด้านความแข็ง เพื่อศึกษา และเปรียบเทียบโครงสร้างทางจุลภาค และสมบัติทางความแข็งของโลหะผสมอะลูมิเนียม-ทองแดง ที่ได้หลังจากการหล่อโลหะผสมสองชนิด แล้วในอัตราส่วนผสมของอะลูมิเนียม-ทองแดงที่ร้อยละ 2, 4, 6, 8 และ 10 โดยนำหักของทองแดง และทำการตรวจสอบโครงสร้างทางจุลภาค พบโครงสร้างเฟสแอลฟा-อะลูมิเนียม (α -Al) เป็นเฟสเดียว หรือเฟสปูมภูมิ และมีเฟสยูเทกติกซีต้า-คอปเปอร์ไดอะลูมิโนอิด (θ -CuAl₂) อุบัติเรณของกรนของเฟสแอลฟ่า-อะลูมิเนียม และมีขนาดใหญ่ขึ้น หรือเป็นกลุ่มเพิ่มขึ้นตามการเพิ่มปริมาณทองแดง สอดคล้องกับค่าความแข็งที่เพิ่มขึ้น เพราะเฟสยูเทกติกซีต้า-คอปเปอร์ไดอะลูมิโนอิด มีสมบัติด้านความแข็ง การทดสอบความแข็งพบว่า ส่วนกึ่งกลางชิ้นงานทดสอบจะมีค่าความแข็งน้อยกว่าบริเวณขอบชิ้นงานทดสอบ และระยะระหว่างกลางจากค่าเฉลี่ยความแข็งของแต่ละส่วนผสมสอดคล้องกับค่าความแข็งที่เพิ่มขึ้น เพราะเฟสยูเทกติกซีต้า-คอปเปอร์ไดอะลูมิโนอิดที่เพิ่มขึ้น แต่ในผลการทดสอบนั้นมีค่าบางค่าที่แสดงผลออกมากับปริมาณจากกลุ่มผลทดสอบนั้น ด้วยเหตุผลจากความบกพร่องของชิ้นงาน เช่น รูพรุน หรือโพรงอากาศ ในกระบวนการหล่อขึ้นรูปชิ้นงานทดสอบ ซึ่งเกิดจากการเหน้าโลหะหลอมเหลวเมื่อกองกากอากาศไว้ภายใน ไม่สามารถเคลื่อนออกมาน้ำหนักตัวในกระบวนการเหน้าโลหะ

กิตติกรรมประกาศ

ปริญญาในพนธฉบับนี้ สำเร็จลุล่วงไปได้ด้วยความช่วยเหลือของหลายๆ ฝ่าย โดยเฉพาะ
อาจารย์กฤษณา พูลสวัสดิ์ อาจารย์ที่ปรึกษาโครงงาน ที่ได้ให้คำแนะนำ คำปรึกษา แนะนำวิธี
แก้ปัญหา รวมถึงข้อคิดเห็นต่างๆ ตลอดจนความคุ้มแลเอ่าใจใส่ ติดตามการดำเนินโครงงานมาโดย
ตลอด และขอขอบคุณคณะอาจารย์ประจำภาควิชาวิศวกรรมอุตสาหการ มหาวิทยาลัยนเรศวรทุก
ท่าน ที่ได้ให้วิชาความรู้ เพื่อนำมาประยุกต์ใช้ในการทำปริญญานิพนธฉบับนี้

ขอขอบพระคุณคณะกรรมการ อาจารย์ชุลีพรย์ ป่าໄร์ อาจารย์ศิริกาญจน์ ขันสัมฤทธิ์
อาจารย์ปิยนันท์ บุญพยัคฆ์ อาจารย์ธนิกานต์ คงชัย อาจารย์มานะ วีรวิกรม ที่สละเวลาเพื่อการสอน
ปริญญาบัตรนี้

ขอขอบพระคุณคณบดีวิศวกรรมศาสตร์ มหาวิทยาลัยนเรศวร ที่ประสิทธิ์ประสาทวิชาความรู้
ให้กับผู้ที่ทำโครงการ งานนวัตกรรมไปด้วยดี

นอกจากนี้ ยังต้องขอขอบคุณ เจ้าหน้าที่เทคนิคคณะวิทยาศาสตร์ ที่ช่วยเหลือด้านวัสดุ อุปกรณ์ ในการดำเนินโครงการเป็นอย่างดีมาโดยตลอด

ขอขอบคุณ นางศีหานาฏ ขัยทรัพย์มงคล ผู้เป็นมารดา ที่ได้ให้การดูแล อบรมสั่งสอน ให้กำลังใจ และให้การดูแลสนับสนุนในทุกด้านจนสำเร็จการศึกษา

สุดท้ายนี้ผู้ดำเนินโครงการโครงร่างขอขอบพระคุณ คุณมนต์ชัย คุณเพ็ญทิพย์ ที่ได้ให้การดูแล และให้การส่งเสริมในด้านการศึกษาด้วยดีเสมอมา ตลอดการดำเนินโครงการจนสำเร็จการศึกษา

ผู้ดำเนินโครงการ
อภินันท์ ชัยทรัพย์มงคล
เฉลิมพล พังแสงสุ

เมษายน 2554

สารบัญ

	หน้า
ใบรับรองปริญญาบัตร.....	ก
บทคัดย่อภาษาไทย.....	ข
กิตติกรรมประกาศ.....	ค
สารบัญ.....	ง
สารบัญตาราง.....	จ
สารบัญรูป.....	ฉ
 บทที่ 1 บทนำ.....	1
1.1 หลักการ และเหตุผล.....	1
1.2 วัตถุประสงค์ของโครงการ.....	1
1.3 เกณฑ์ชี้วัดผลงาน (Output).....	1
1.4 เกณฑ์ชี้วัดผลสำเร็จ (Outcome).....	1
1.5 ขอบเขตในการดำเนินงานวิจัย.....	2
1.6 สถานที่ในการดำเนินงานวิจัย.....	2
1.7 ระยะเวลาในการดำเนินงานวิจัย.....	2
1.8 ขั้นตอน และแผนการดำเนินการ (Gantt Chart).....	3
 บทที่ 2 หลักการ และทฤษฎีเบื้องต้น.....	4
2.1 โลหะนอกกลุ่มเหล็ก (Nonferrous Metals and Alloys).....	4
2.2 โลหะอัลูมิเนียม (Aluminum).....	5
2.3 โลหะทองแดง (Copper).....	6
2.4 สมบัติของการผสม.....	7
2.5 การหล่อ.....	10
2.6 การออกแบบแม่พิมพ์ (Mold Design).....	12
2.7 การเข็งตัวของโลหะ	14
2.8 การทดสอบความแข็ง (Hardness Testing).....	23
2.9 การตรวจสอบโครงสร้างทางจุลภาค	25
2.10 งานวิจัยที่เกี่ยวข้อง.....	27

สารบัญ (ต่อ)

	หน้า
บทที่ 3 วิธีการดำเนินโครงการ.....	28
3.1 ศึกษาข้อมูล.....	29
3.2 วิธีออกแบบ และการทำแม่พิมพ์.....	29
3.3 การเปลี่ยนปัจจัยในการทดลอง.....	29
3.4 การตรวจสอบโครงสร้างทางจุลภาค.....	30
3.5 การทดสอบความแข็ง (Hardness Test).....	32
3.6 วิเคราะห์ข้อมูล.....	32
3.7 สรุปผล และจัดทำรูปเล่ม.....	32
บทที่ 4 ผลการทดลอง และวิเคราะห์.....	33
4.1 ผลการศึกษา และเก็บรวบรวมข้อมูล.....	33
4.2 การออกแบบแม่พิมพ์ จัดทำเครื่องกวาน้ำโลหะ และแม่พิมพ์.....	34
4.3 ทำการทดลองผสมโลหะอัลูมิเนียม-ทองแดง.....	35
4.4 การตรวจสอบโครงสร้างทางจุลภาค.....	37
4.5 ผลการตรวจสอบโครงสร้างทางจุลภาคของโลหะอัลูมิเนียมบริสุทธิ์ และ โลหะผสมอัลูมิเนียม-ทองแดง ร้อยละ 2, 4 , 6, 8 และ 10 โดยน้ำหนักทองแดง.....	38
4.6 ผลการทดสอบสมบัติด้านความแข็ง.....	41
บทที่ 5 บทสรุป และข้อเสนอแนะ.....	43
5.1 บทสรุป.....	43
5.2 ข้อเสนอแนะ และการพัฒนา.....	43
5.3 ปัญหาที่พบ และแนวทางการแก้ปัญหา.....	44
เอกสารอ้างอิง.....	45
ภาคผนวก ก.....	46
ภาคผนวก ข.....	53
ประวัติผู้ดำเนินโครงการ.....	55

สารบัญตาราง

ตารางที่	หน้า
1.1 ขั้นตอนการดำเนินการวิจัย และดำเนินงาน.....	3
2.1 รายละเอียดของน้ำยา กัดชิ้นงานที่ตรวจสอบที่เป็นโลหะนอกรุ่มเหล็ก.....	26
3.1 ขั้นงานในการศึกษาอัตราส่วนผสมของ อะลูมิเนียม-ทองแดง ที่มีผลต่อโครงสร้างทางจุลภาค และสมบัติทางด้านความแข็ง.....	30
4.1 ผลการคำนวนหาร้อยละโดยน้ำหนักของเฟสแอลฟा-อะลูมิเนียม และซีต้า-คอปเปอร์โดยอะลูมิไนด์ ของโลหะผสมอะลูมิเนียม-ทองแดงร้อยละ 2, 4, 6, 8 และ 10 โดยน้ำหนักของทองแดง.....	41
ก.1 ผลการศึกษาโครงสร้างของโลหะผสมอะลูมิเนียม-ทองแดง ที่อัตราส่วนอะลูมิเนียมปริสุทธิ์.....	47
ก.2 ผลการศึกษาโครงสร้างของโลหะผสมอะลูมิเนียม-ทองแดง ที่อัตราส่วนร้อยละ 2 โดยน้ำหนักของทองแดง.....	48
ก.3 ผลการศึกษาโครงสร้างของโลหะผสมอะลูมิเนียม-ทองแดง ที่อัตราส่วนร้อยละ 4 โดยน้ำหนักของทองแดง.....	49
ก.4 ผลการศึกษาโครงสร้างของโลหะผสมอะลูมิเนียม-ทองแดง ที่อัตราส่วนร้อยละ 6 โดยน้ำหนักของทองแดง.....	50
ก.5 ผลการศึกษาโครงสร้างของโลหะผสมอะลูมิเนียม-ทองแดง ที่อัตราส่วนร้อยละ 8 โดยน้ำหนักของทองแดง.....	51
ก.6 ผลการศึกษาโครงสร้างของโลหะผสมอะลูมิเนียม-ทองแดง ที่อัตราส่วนร้อยละ 10 โดยน้ำหนักของทองแดง.....	52

สารบัญรูป

รูปที่	หน้า
2.1 แผนภูมิสมดุล อัลูมิเนียม-ทองแดง.....	9
2.2 Bottom Gate.....	13
2.3 Side Gate.....	13
2.4 ลักษณะการเกิดผลลัพธ์ของงานหล่อ.....	15
2.5 ลักษณะการแยกตัวของสารมลพินออยู่ตามขอบเกรนและกึ่งกลางของแท่งโลหะ.....	15
2.6 รูปตัดการเกิดผลลัพธ์ในลักษณะต่างๆ ของโลหะหล่อ.....	16
2.7 ลักษณะการเกิดโพรงอากาศอันเนื่องมาจากการทดสอบตัวของน้ำโลหะ.....	17
2.8 กลไกการเกิดเดนไคร์ท.....	19
2.9 อุณหภูมน้ำโลหะในโพรงแบบหล่อ.....	20
2.10 ภาวะ Undercooling ที่เกิดมากที่สุด.....	22
2.11 เครื่องทดสอบความแข็งแบบเบร็อกเวลล์.....	24
2.12 ลักษณะแนวทางการขัดผิวของชิ้นงานที่ทดสอบสลับเป็นตาราง.....	26
3.1 ขั้นตอนการดำเนินงานวิจัย.....	28
3.2 ชิ้นงานที่จะได้จากการหล่อตามมาตรฐาน ASTM B 108.....	29
3.3 ชิ้นงานที่นำชิ้นงานมาตัด โดยเลือก 3 ส่วน.....	30
3.4 ดำเนินการตรวจสอบโครงสร้างจุลภาค.....	31
3.5 ดำเนินการทดสอบความแข็ง.....	32
4.1 การออกแบบขนาดแม่พิมพ์ตามมาตรฐานของ ASTM B 108.....	33
4.2 แบบพิมพ์ตามมาตรฐานของ ASTM B 108.....	34
4.3 เครื่องกวนน้ำโลหะ.....	34
4.4 แผนภูมิสมดุล อัลูมิเนียม-ทองแดง.....	35
4.5 เทน้ำโลหะอัลูมิเนียมทองแดงลงแม่พิมพ์.....	36
4.6 ชิ้นงานที่ผ่านกรรมวิธีการหล่อ.....	36
4.7 ชิ้นงานที่ตัด เพื่อทดสอบ.....	37
4.8 ดำเนินการตรวจสอบโครงสร้างจุลภาค.....	37
4.9 โครงสร้างอัลูมิเนียมบริสุทธิ์.....	38

สารบัญรูป (ต่อ)

รูปที่	หน้า
4.10 โครงสร้างทางจุลภาคโลหะผสมอะลูมิเนียม-ทองแดงร้อยละ 2 โดยน้ำหนักของทองแดง.....	38
4.11 โครงสร้างทางจุลภาคโลหะผสมอะลูมิเนียม-ทองแดง.....	39



บทที่ 1

บทนำ

1.1 หลักการ และเหตุผล

ปัจจุบันนี้ได้มีโลหะหลายชนิดที่นำมาใช้ประโยชน์ในอุตสาหกรรม ซึ่งอุตสาหกรรมในประเทศไทยได้มีการขยายตัวเพิ่มมากขึ้นเรื่อยๆ โลหะที่พบมากในชีวิตประจำวันได้แก่ เหล็ก อะลูมิเนียม เงิน ทองแดง และอื่นๆ อีกมากมาย และมีการนำโลหะเหล่านี้มาผสมเข้าด้วยกัน เช่น อะลูมิเนียมผสม ทองแดงซึ่งอะลูมิเนียมเป็นโลหะที่มีความเบา และเหนียว และจุดเด่นทางด้านการทนต่อการเป็นสนิม แต่ยังขาดความสามารถทางความแข็ง จึงทำให้ต้องมีการผสมทองแดง เพื่อเพิ่มสมบัติทางความแข็ง ของอะลูมิเนียม และอะลูมิเนียมสามารถผสมกับโลหะได้หลายชนิด เช่น ทองแดง แมกนีเซียม ชิลิคอน ในที่นี้นิสิตสนใจในการผสมกันระหว่าง อะลูมิเนียม กับทองแดง โดยคาดว่าสมบัติทางกลจะ สูงขึ้น และสามารถนำไปผ่านกระบวนการรีฟาร์มร้อนได้อีกด้วย เพื่อที่จะสามารถนำไปใช้งานได้อย่าง ก้าวหน้ากว่าเดิม

ในการเพิ่มสมบัติของอะลูมิเนียม โดยผสมทองแดงจะใช้วิธีการหล่อ เพื่อให้เนื้อของสารผสมเป็น เนื้อเดียวกัน เพื่อให้ได้สมบัติถึงโครงสร้างทางจุลภาค และเป็นวิธีการที่สามารถทำได้สะดวก และ รวดเร็ว

1.2 วัตถุประสงค์ของโครงการ

เพื่อศึกษา และเปรียบเทียบโครงสร้างทางจุลภาค และสมบัติทางความแข็งของโลหะผสม อะลูมิเนียม-ทองแดง ที่ได้หลังจากการหล่อโลหะผสมสองชนิดแล้วในอัตราส่วนผสมของอะลูมิเนียม- ทองแดงที่แตกต่างกัน

1.3 เกณฑ์ขึ้นรูปผลงาน (Output)

ขั้นตอนที่ได้จากการขึ้นรูป โดยการหล่อโลหะที่มีอัตราส่วนผสมที่แตกต่างกัน

1.4 เกณฑ์ขึ้นรูปสำเร็จ (Outcome)

ผลการวิเคราะห์โครงสร้างทางจุลภาค และค่าความแข็งของขั้นงานที่อัตราส่วนผสมของโลหะ อะลูมิเนียม-ทองแดงที่อัตราส่วนผสมร้อยละ 2, 4, 6, 8 และ 10 โดยน้ำหนักทองแดง

1.5 ขอบเขตในการดำเนินการวิจัย

- 1.5.1 วัสดุในการดำเนินงาน คือ อะลูมิเนียม และทองแดง
- 1.5.2 แม่พิมพ์การรีดเหล็ก (Permanent Mold) ขนาดตามมาตรฐาน ASTM B 108
- 1.5.3 อุณหภูมิหลอมโลหะที่ 1100 องศาเซลเซียส และอุณหภูมิเที่ 710 องศาเซลเซียส
- 1.5.4 อัตราส่วนผสมของโลหะ อะลูมิเนียม-ทองแดง ในอัตราส่วนผสมร้อยละ 2, 4, 6, 8 และ 10 โดยน้ำหนักทองแดง
- 1.5.5 ศึกษา และตรวจสอบขนาดโครงสร้างทางจุลภาคของชิ้นงานที่ปรับเปลี่ยนอัตราส่วนผสมที่แตกต่างกันด้วยกล้องจุลทรรศน์แบบแสง (Optical Microscope)
- 1.5.6 ศึกษาการวัดค่าความแข็ง โดยใช้เครื่องทดสอบความแข็งรี็วโคเวลล์

1.6 สถานที่ในการดำเนินการวิจัย

อาคารปฏิบัติการทางวิศวกรรมอุตสาหการ คณะวิศวกรรมศาสตร์ มหาวิทยาลัยนเรศวร

1.7 ระยะเวลาในการดำเนินการวิจัย

กรกฎาคม พ.ศ. 2552 - เมษายน พ.ศ. 2554

1.8 ขั้นตอน และแผนการดำเนินการ (Gantt Chart)

ตารางที่ 1.1 ขั้นตอนการดำเนินการวิจัย และดำเนินงาน

บทที่ 2

หลักการ และทฤษฎีเบื้องต้น

ในปัจจุบันมีความต้องผลิตภัณฑ์ในด้านการอำนวยความสะดวกต่างๆ เพิ่มขึ้นจากจำนวนประชากรที่เพิ่มขึ้นอย่างมากในจำนวนนั้นโลหะ และอุตสาหกรรมโลหะก็มีส่วนสำคัญอย่างยิ่งในการสนองต่อความต้องการต่างๆ ในรูปผลิตภัณฑ์ที่ใช้โลหะ และโลหะผสมอะลูминเนียมเป็นโลหะนอกกลุ่มเหล็กที่นิยมใช้กันอย่างกว้างขวาง จึงทำให้มีความสนใจในการศึกษา และพัฒนา เพื่อให้ได้โลหะผสมอะลูминเนียมที่มีประสิทธิภาพเหมาะสมแก่การใช้งานต่างๆ โดยเรียนรู้ และพัฒนาจากทฤษฎีของโลหะอะลูминเนียม และโลหะนอกกลุ่มเหล็กอีกชนิดที่ใช้ในผสม คือทองแดง เพื่อพัฒนาโครงสร้างทางจุลภาคโดยนำหลักทฤษฎีการหล่อโลหะมาอธิบายถี่ที่เกิดขึ้น

2.1 โลหะนอกกลุ่มเหล็ก (Nonferrous Metals and Alloys)

โลหะนอกกลุ่มเหล็ก หมายถึงโลหะที่ไม่มีเหล็กเป็นองค์ประกอบส่วนใหญ่ เช่นทองแดง อะลูминเนียม สังกะสี ดีบุก และอื่นๆ ในงานวิศวกรรม และอุตสาหกรรมจะใช้โลหะนอกกลุ่มเหล็ก ทั้งหมดในปริมาณที่ต่ำกว่าเหล็ก ปริมาณที่ผลิตทั้งปวงอยู่ในเกณฑ์ประมาณหนึ่งในสิบห้าส่วนของเหล็กหล่อ และเหล็กกล้าทั้งนี้ไม่รวมโลหะนอกกลุ่มเหล็กที่จดอยู่ในประเภทโลหะมีค่าสูง (Precious Metal) เช่น ทองคำ และทองคำขาว โลหะนอกกลุ่มเหล็กที่ใช้ในงานวิศวกรรมส่วนใหญ่จะใช้ทดแทนเหล็กในกรณีที่โลหะนอกกลุ่มเหล็กมีความเหนือกว่าในด้านสมบัติใช้งานทั้งนี้ เพราะโลหะนอกกลุ่มเหล็กมีราคาสูงกว่าเหล็กกลั่งขณะที่เหนือกว่าเหล็กจะพิจารณาหลายๆ ประดิษฐ์สำคัญ คือ (มนัส, 2543)

2.1.1 ง่ายต่อการผลิตขึ้นส่วนโลหะ หมายถึงการหล่อ (Casting) การขึ้นรูปด้วยกรรมวิธีการรีด การตีขึ้นรูป การเชื่อม และการตกแต่งด้วยการตัด กลึงเจาะ จะเห็นได้ว่าโลหะนอกกลุ่มเหล็กส่วนใหญ่มีจุดหลอมเหลวต่ำ มีสมบัติการไหลภายในแบบหล่อสูง (High Fluidity) สามารถที่จะหล่อได้ทั้งแบบทราย และแบบโลหะในลักษณะการฉีดเข้าแบบหล่อ (Die Casting) จากสมบัติอ่อนตัวสูงของโลหะนอกกลุ่มเหล็ก (Malleable และ Ductile) สามารถขึ้นรูปได้ทั้งร้อน และเย็น และใช้กรรมวิธีขึ้นรูปได้ลักษณะอย่างกว้างขวาง

2.1.2 สมบัติต้านทานการกัดกร่อนโลหะนอกกลุ่มเหล็กหลายประเภทมีสมบัติต้านทานต่อการกัดกร่อนได้ดีกว่าเหล็กทั้งในบรรยากาศทั่วไปที่มีความชื้น และในสภาพที่เป็นกรด หรือด่าง

2.1.3 สภาพที่เป็นตัวนำทางไฟฟ้า และความร้อนโลหะนอกกลุ่มเหล็กจะมีหัวที่เป็นตัวนำที่ดีและไม่ตื้อยู่ในกลุ่ม ดังเช่นทองแดงจัดเป็นโลหะที่เป็นตัวนำไฟฟ้าที่ดีทำสายไฟฟ้า แต่โลหะนิกเกิลผสมจัดเป็นโลหะที่เป็นตัวนำไฟฟ้าไม่ดีใช้ทำขดลวดต้านทานไฟฟ้า (Electrical Resistor)

2.1.4 น้ำหนัก หรือความถ่วงจำเพาะโลหะนอกรถกลุ่มเหล็กหล่ายประเภทที่มีน้ำหนักเบากว่าเหล็กมาก เช่น อะลูมิเนียม แมกนีเซียม ไทเทเนียม ความได้เปรียบในด้านน้ำหนักจะเป็นประเด็นหนึ่งที่พิจารณา เพื่อนำเข้าโลหะเหล่านี้มาพัฒนาใช้ในกรณีที่ต้องการชั้นส่วนโลหะที่มีน้ำหนักเบา

2.1.5 ความสวยงามของสีสัน เป็นปัจจัยหนึ่งที่จะนำเอาโลหะนอกกลุ่มเหล็กที่ให้สี และความมันเงาของผิวมาใช้งานในด้านการตกแต่ง และงานสถาปัตยกรรม

โลหะนอกกลุ่มเหล็กถูกจัดประเภทไว้หลายชนิดขึ้นอยู่กับน้ำหนัก ความคงทนต่อการกัดกร่อนอุณหภูมิหลอมเหลว ปริมาณเหล่งแร่ และสมบัติการแพร่รังสี

2.2 โลหะอะลูมิเนียม (Aluminum)

อะลูมิเนียมจัดเป็นธาตุที่พบมากชนิดหนึ่งบนผิวโลกประมาณร้อยละ 8 จะพบกระจัดกระจายอยู่ทั่วไปส่วนใหญ่จะอยู่ในรูปของออกไซด์ (Al_2O_3) ซึ่งจะเป็นอยู่กับออกไซด์ของซิลิคอน (SiO_2) และเหล็กแร่อะลูมิเนียมที่สามารถนำมาถลุง เพื่อผลิตโลหะอะลูมิเนียมจะเป็นแร่ที่มีปริมาณซิลิคอน ออกไซด์ต่ำ ได้แก่ แร่บออกไซต์ (Bauxite) ตามชื่อของบริเวณที่พบแร่ครั้งแรกในประเทศฝรั่งเศสนอกจากนี้ยังมีแร่เคลโอไลนิต (Kaolinite) และที่มีปริมาณอะลูมิเนียมออกไซด์ต่ำที่ยังพ่อนำมาผลิตโลหะอะลูมิเนียมในเชิงพาณิชย์ได้ เช่น Nepheline และ Alunite ซึ่งแร่ทั้งสองนองจากมีซิลิคอนออกไซด์แล้วยังมีธาตุโพแทสเซียม และโซเดียมปนอยู่อีกปัจจุบันแหล่งแร่บออกไซต์มีปริมาณลดลงแร่ที่มีปริมาณอะลูมิเนียมออกไซด์ต่ำกว่าบ่อนอกไซต์จะถูกนำมาผสม เพื่อผลิตโลหะอะลูมิเนียมมากยิ่งขึ้น ประเทศที่พบแหล่งแร่อะลูมิเนียมที่สำคัญได้แก่ ประเทศไทยรัฐอเมริกา อิตาลี และฝรั่งเศส สำหรับประเทศไทยไม่ปรากฏบนแร่บออกไซต์แต่ในประเทศไกหลีเคียง เช่น มาเลเซีย และเวียดนามปรากฏบนแร่บอกรายต์จากเอกสารทรัพยากรธรณ์ที่พิมพ์ออกเผยแพร่ได้กล่าวเป็นเชิงวิจารณ์ว่าประเทศไทยอาจจะมีแหล่งแร่บอกรายต์ เพราะสภาพธารน้ำวิถีไทย และสภาพภูมิอากาศเขตร้อน เหมาะสมแก่การดำเนินด้วยแร่บอกรายต์ (มนัส. 2543)

โลหะวิทยาของอะลูมิเนียม และอะลูมิเนียมผสม

อะลูมิเนียมจัดเป็น โลหะที่มีน้ำหนักเบา มีความต้านทานต่อการเป็นสนิม มีความแข็งแรงในเกณฑ์ปานกลาง แต่มีความเหนียวสูงสามารถนำไปใช้งานได้กว้างขวางแทนเหล็ก และทองแดงได้ในหลายๆ ด้านของงานวิศวกรรม และอุตสาหกรรมอะลูมิเนียมมีสมบัติทางด้านหล่อหลอมที่ดี โดยมีอุณหภูมิหลอมเหลวที่ต่ำ สามารถรวมตัวกับโลหะอื่นๆ เป็นโลหะผสมได้ง่าย มีความสามารถในการหล่อขึ้นในเกณฑ์สูงสามารถหล่อหลอมได้ง่าย ข้อเสียของอะลูมิเนียมยังคงมีอยู่เหมือนกัน โดยขอบเขตการยืดหยุ่น (Elastic Limit) ต่ำ ทำให้การใช้งานถูกจำกัดขอบเขตไปมาก (มนัส. 2543)

สมบัติทางฟิสิกส์ของโลหะกัมเนียม

- น้ำหนักอะตอม	26.97 amu
- โครงสร้างของผลึก (Face Centered Cubic)	FCC
- ความหนาแน่น (20° C)	2.70 g/cm^3
- อุณหภูมิหลอมเหลว	658°C
- จุดเดือดกล้ายเป็นไอ (Boiling Point)	1800°C
- ความร้อนแห้งของการหลอมละลาย	93 cal/g
- สัมประสิทธิ์การขยายตัว (20° C)	$23.8 \times 10^{-6} ^{\circ}\text{C}$
- ความต้านทานนำไฟฟ้า (20° C)	2.699 microhm.cm

สมบัติทางกลของโลหะกัมเนียม

- ความแข็งแรง (Tensile Strength)	$8-10 \text{ kg/mm}^2$
- พิกัดความยืดหยุ่น (Elastic Limit)	3 kg/mm^2
- อัตราการยืดตัว (Percent Elongation)	40-50%
- ความแข็ง (Hardness)	16-20 HB
- โมดูลัสของการยืดหยุ่น (Modulus of Elasticity)	1109420 psi

2.3 โลหะทองแดง (Copper)

ทองแดงเป็นธาตุที่พบปริมาณน้อยบนผิวโลก แต่เป็นธาตุหนึ่งที่ปราศจากพิษในสภาพบริสุทธิ์ โดยธรรมชาติ เรียกว่า พบรสภาพโลหะ (Metallic State) หรือในสภาพ Native Copper ซึ่งปราศจากพิษ กระจายตัวตามแหล่งต่างๆ

แร่ทองแดงที่ปราศจากพิษมีมากมายหลายชนิดมีทั้งที่อยู่ในฟอร์มของชัลไฟฟ์ ออกไซด์ คาร์บอนเนต ชัลเฟต ชิลิกเกต และที่อยู่ในลักษณะผสมกัน และยังปนอยู่กับแร่อื่นๆ เช่น แร่นิกเกลิ เงิน พลวง และบิสมัท ปริมาณของทองแดงในแร่จะอยู่ในช่วงไม่เกินร้อยละ 10 แร่ทองแดงที่จัดว่ามีความสำคัญ ในเชิงอุตสาหกรรมผลิตโลหะทองแดง ส่วนมากจะเป็นแร่ประเทาชัลไฟฟ์ซึ่งมีอยู่สองชนิดที่สำคัญคือ แร่ทองแดง คัลโคไซด์ เป็นแร่มีสีเทา-ดำ มีความถ่วงจำเพาะ 55.5-5.8 มีปริมาณทองแดงร้อยละ 79.9 อิกชนิดหนึ่ง คือ แร่คัลโคโพไรต์ เป็นแร่มีสีเหลือง ความถ่วงจำเพาะประมาณ 4 มีปริมาณทองแดงประมาณร้อยละ 35

นอกจากนี้ยังมีแร่ทองแดงออกไซด์ (Cu_2O) มีทองแดงปริมาณสูงกว่าแร่ที่กล่าวมาแล้วร้อยละ (88.8) เป็นแร่มีสีแดงปริมาณที่พบมีน้อย แร่ทองแดงอิกชนิดหนึ่งที่มีสีเขียวสามารถเจียระไนทำเป็นเครื่องประดับเป็นแร่ทองแดงควรนำไปเนตเรียก Malachite ($\text{CuCO}_3\text{Cu(OH)}_2$) มีปริมาณทองแดงร้อยละ 58

สมบัติทางพิสิตร์ของทองแดง

- น้ำหนักอะตอม (Atomic Weight)	63.57 amu
- โครงสร้างของฟลีก (Face Centered Cubic)	FCC
- ความหนาแน่น (20° C)	8.94 g/cm^3
- อุณหภูมิหลอมเหลว	1083° C
- จุดเดือดกล้ายเป็นไอ (Boiling point)	2595° C
- ความร้อนแห้งของการหลอมละลาย	0.092 cal/g
- สัมประสิทธิ์การขยายตัว	$16.47 \times 10^{-6}^{\circ} \text{ C}$
- ความต้านทานนำไฟฟ้า (30° C)	1.682 microhm.cm

สมบัติทางกล

- ความแข็งแรง (Tensile Strength)	17 kg/mm^2
- พิกัดความยืดหยุ่น (Elastic Limit)	10 kg/mm^2
- อัตราการยืดตัว (Percent Elongation)	35–50 %
- ความแข็ง (Hardness)	35–50 HB
- โมดูลัสของการยืดหยุ่น (Modulus of Elasticity)	1706800 psi

2.4 สมบัติของการผสม

เมื่อโลหะตั้งแต่ 2 ชนิดขึ้นไปผสมกันนั้น ย่อมที่จะทำให้สมบัติของโลหะผสมเหล่านั้นมีความแตกต่างไปจากโลหะเดิมที่อยู่ในสภาพบริสุทธิ์ สมบัติที่แตกต่างกันนั้นมีรายละเอียดดังนี้ (ชาลิต, 2553)

ถ้าโลหะ 2 ชนิดผสมกันในสภาวะของแข็งอย่างมีขีดจำกัดนั้น หมายถึงโลหะทั้งสองชนิดมีองค์ประกอบซึ่งไม่ละลายซึ่งกันและกัน ดังนั้นสมบัติของการผสมจะเป็นไปในลักษณะผสมผสานระหว่างสมบัติโลหะบริสุทธิ์ทั้งสอง เช่น สมบัติในด้านความแข็ง ตัวนำไฟฟ้า และสมบัติความเป็นแม่เหล็ก

- ถ้าการผสมนั้นเป็นชนิด สารละลายของแข็งความแข็งแรงจะเพิ่มขึ้นกว่าโลหะบริสุทธิ์แตกตัว ทำให้การเป็นตัวนำไฟฟ้าลดลง
- ถ้าการผสมนั้นเป็นชนิด Intermetallic Compound ก็ไม่สามารถทำนายสมบัติได้ ได้เลย

2.4.1 โลหะผสม (Alloys Metals)

โลหะที่ใช้ในงานด้านวิศวกรรมนั้น จำเป็นต้องมีสมบัติที่เหมาะสมกับงานในแต่ละด้านโดยเฉพาะอย่างยิ่งสมบัติทางกล คือต้องมีความสามารถที่จะรับแรงต่างๆ ได้ แต่โดยปกติโลหะบริสุทธิ์ส่วนมากจะอ่อน และรับแรงต่างๆ ได้ไม่มาก เมื่อจะนำไปใช้งานก็ไม่เหมาะสม ฉะนั้นจำเป็นต้องเพิ่ม

ความแข็งแรงให้กับโลหะเหล่านั้น โดยผสมธาตุต่างๆ ลงไป แล้วเรียกโลหะใหม่นี้ว่า “โลหะผสม” (ชาลิต, 2553)

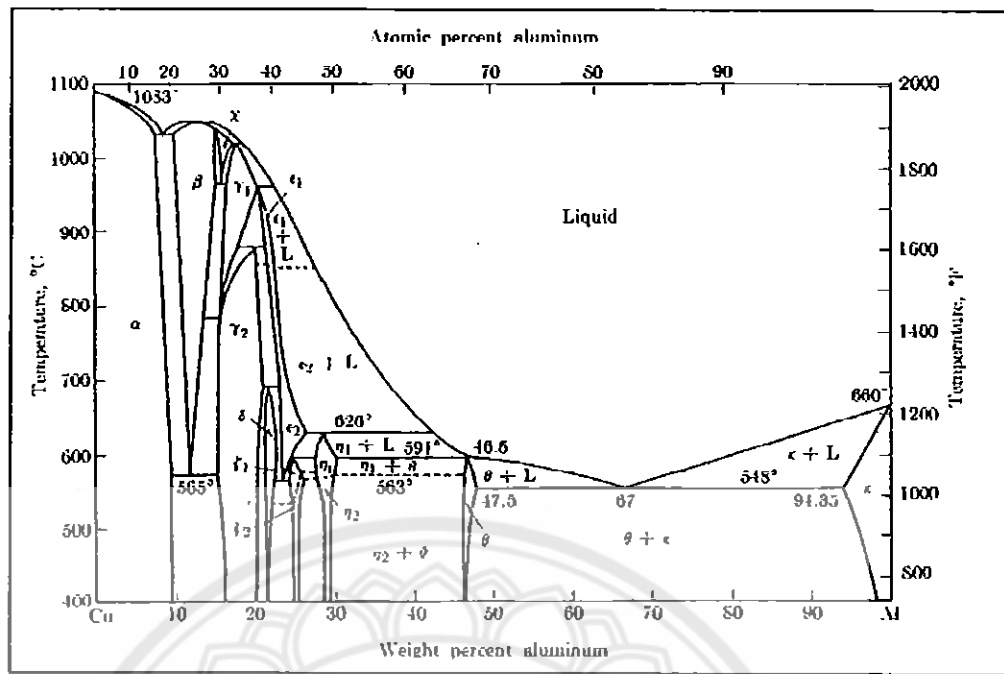
2.4.2 โลหะอะลูมิเนียมผสม

อะลูมิเนียมสามารถสมบักกับโลหะได้หลายชนิด เช่น ทองแดง แมกนีเซียม สังกะสี ชิลิคอน และแมงกานีส โลหะที่ผสมกับอะลูมิเนียมเหล่านี้จะช่วยทำให้อะลูมิเนียมมีสมบัติทางกลเปลี่ยนแปลงไปตามที่เราต้องการ เช่น อะลูมิเนียมผสมเกรด 4032 ประกอบด้วยทองแดงร้อยละ 0.9 โดยน้ำหนัก แมกนีเซียมร้อยละ 1.1 ชิลิคอน 12.2 และนิกเกิลร้อยละ 0.9 โดยน้ำหนัก และเมื่อนำอะลูมิเนียมชนิดนี้ไปผ่านกรรมวิธีทางร้อนจะได้ความแข็งประมาณ 120 HB และความแข็งแรงสูงสุดเท่ากับ $9,100 \text{ kg/cm}^2$ จะเห็นได้ว่าเมื่อผสมโลหะชนิดอื่นลงไปในอะลูมิเนียมจะทำให้อะลูมิเนียมผสมนั้นมีสมบัติทางกลสูงขึ้นมาก ด้วยเหตุผลดังกล่าวนี้เองจึงทำให้อะลูมิเนียมผสมถูกนำไปใช้งานได้อย่างกว้างขวางมากยิ่งขึ้น นอกจากนั้นอะลูมิเนียมผสมยังสามารถนำไปผ่านกรรมวิธีทางความร้อน ซึ่งจะส่งผลให้อะลูมิเนียมผสมมีสมบัติทางกลดีเพิ่มขึ้นอีก (ชาลิต, 2553)

อนึ่ง เพื่อให้เกิดความเข้าใจเกี่ยวกับอะลูมิเนียมผสมมากยิ่งขึ้นจึงได้นำรายละเอียดของอะลูมิเนียมผสมกับธาตุอื่นๆ มาเสนอต่อไปนี้ ตัวอย่างเช่น อะลูมิเนียมผสมทองแดง ขอให้พิจารณา รูปที่ 2.1 แสดงแผนภูมิสมดุล อะลูมิเนียม-ทองแดง จากรูปจะเห็นได้ว่าทองแดงสามารถละลายในอะลูมิเนียมได้สูงสุดเท่ากับร้อยละ 5.65 ที่อุณหภูมิยูเทกติกประมาณ 550 องศาเซลเซียส ($1,018$ องศาfarenไฮต์) และการละลายของทองแดงจะลดปริมาณเหลือร้อยละ 0.25 เมื่อถึงอุณหภูมิห้องจากแผนภูมิสมดุลของอะลูมิเนียมกับทองแดง ให้พิจารณาที่อัตราส่วนผสมของทองแดงร้อยละ 33 ถึงร้อยละ 52.5 ตำแหน่งไหนก็เป็นอุณหภูมิยูเทกติกเล็กน้อยจะพบเฟสซีต้า-คอปเปอร์โดยอะลูมิโนร์ ($\theta-\text{CuAl}_2$) และเฟสของเหลว (L) จากจุดดังกล่าวถ้าปล่อยให้อุณหภูมิลดลงอย่างรวดเร็วจะเกิดเฟสซีต้าเฟสเดียว ซึ่งทำให้อะลูมิเนียมนี้มีความแข็งสูง

2.4.3 โลหะผสมอะลูมิเนียม-ทองแดง

ทองแดงเป็นโลหะที่มีระบบผลึกเป็น FCC เหมือนกับอะลูมิเนียม จึงมีผลให้สามารถละลายได้ดีในอะลูมิเนียม และมีผลให้สมบัติเชิงกลของอะลูมิเนียมเปลี่ยนแปลงไปทองแดง เมื่อละลายในอะลูมิเนียมจะให้สารละลายของแข็ง เฟส K โดยมีปริมาณทองแดงละลายได้สูงสุดร้อยละ 5.65 ที่อุณหภูมิลดต่ำกว่า 548 องศาเซลเซียส จะเหลือเพียงประมาณร้อยละ 0.5 ที่อุณหภูมิ 200 องศาเซลเซียส ที่มีปริมาณทองแดงร้อยละ 54 หรือร้อยละ 46 ของอะลูมิเนียมจะปรากฏอะลูมิเนียมรวมตัวกับทองแดงให้สารประกอบเชิงโลหะ (Intermetallic Compound) ซึ่งจะมีสูตร CuAl_2 หรือเรียกว่าเฟส (Brittle) ทองแดงยังสามารถรวมกับอะลูมิเนียมเป็นสารประกอบ CuAl_2 โดยมีทองแดงร้อยละ 70 ดังปรากฏในแผนภูมิสมดุล อะลูมิเนียม-ทองแดง (แผนภูมิสมดุลที่แสดงจะเป็นทองแดง-อะลูมิเนียม ร้อยละของทองแดงในอะลูมิเนียมจะต้องไปหักออกจาก 100) (มนัส, 2543)



รูปที่ 2.1 แผนภูมิสมดุลของอลูมิเนียม-ทองแดง

ที่มา : Matals Hand Book (1948)

จากแผนภูมิสมดุลจะปรากฏจุดยกเทกติกที่อุณหภูมิ 548 องศาเซลเซียส ส่วนผสมร้อยละ 33 ทองแดงเป็นจุดยกเทกติกจะเป็นดังนี้ คือ โลหะหลอมเหลวอะลูมิเนียมทองแดงที่ร้อยละ 33 ทองแดงเมื่อยืดหักตัวลงมาถึงอุณหภูมิ 548 องศาเซลเซียส จะแตกตัวให้เฟส K (ร้อยละ 5.65 ทองแดง) กับเฟส θ หรือ CuAl₂ (ร้อยละ 52.75 ทองแดง)



โครงสร้างของยูเทกติกจะประกอบด้วยແບບบางๆ ระหว่างเฟส K และ θ สลับกัน ซึ่ง เป็นโครงสร้างที่มีความแข็งอยู่ในเกณฑ์สูง แต่ความเหนียวแน่นน้อย (Brittle) ลักษณะคล้ายเพลลิท (Pearlite) ในเหล็กคาร์บอน

โครงสร้างไฮโปຢูเทกติก ในที่นี้จะแยกเป็นสองลักษณะ คือ ไฮໂපຢูเทกติกที่เกินร้อยละ 5 ทองแดง และที่ต่ำกว่าร้อยละ 5 ทองแดง

โครงสร้างไฮໂපຢูเทกติก ในที่ส่วนผสมเกินกว่าร้อยละ 5 โดยน้ำหนักทองแดง ในสภาพการเย็บตัวที่เป็นอัตราการเย็บตัวสมดุล โครงสร้างจะประกอบด้วยเฟส K เป็นโครงสร้างพื้นฐาน โดยมีลักษณะโครงสร้างยูเทกติก (K+θ) กระจายอยู่ตามบริเวณขอบเกรน (Grain Boundary) ซึ่งมีผลทำให้ความเหนียวลดลง

สำหรับโครงสร้างไฮໂපຢูเทกติก ที่ส่วนผสมน้อยกว่าร้อยละ 5 ลักษณะโครงสร้างจะประกอบด้วยเฟส K เป็นโครงสร้างพื้นฐาน อาจจะปรากฏการตกผลึกของเฟส θ อยู่บ้างตามบริเวณขอบเกรนซึ่งเป็นผลมาจากการแยกตัวของอะtomทองแดงมาจับตัวเป็น θ ในช่วงอุณหภูมิต่ำกว่า 548 องศาเซลเซียส ลักษณะที่สำคัญของเฟส K กับเฟส θ มีผลต่อสมบัติเชิงกลของโลหะผสมอะลูมิเนียม

ทองแดงเป็นอย่างมากตามที่ทราบเพส K เป็นเพสที่มีความเหนียวสูง โดยที่เพส 0 มีความแข็งสูงแต่ gerade ในกรณีเช่นนี้ถ้าเพส 0 แม้จะมีอยู่พิจิตรแล้วก็ยังคงสภาพที่ต่อเนื่อง จะมีผลให้โลหะ ผสมขาดสมบัติความเหนียว ถ้าจะเปรียบก็จะเหมือนเอามีดทรราชผสมในชี้ง ถ้าทราบได้ชี้งยัง สามารถหุ่มเม็ดทรราชได้หมดก็จะยังคงรักษาความเป็นชี้งไว้ได้ แต่ถ้าชี้งไม่สามารถหุ่มเม็ดทรราชอยู่ ได้ก็จะขาดความเหนียวอย่างเห็นได้ชัด

ในกรณีที่โลหะอะลูминียม-ทองแดง มีปริมาณทองแดงเพิ่มขึ้นจากร้อยละ 5 เข้าใกล้ร้อย ละ 33 เข้าไปเท่าไร โครงสร้างของโลหะผสมก็จะยิ่งมีเพส 0 เกิดขึ้นในปริมาณสูง ยิ่งถ้าเป็นโลหะผสม ประเภทไออกอร์ฟูเทกติก (มากกว่าร้อยละ 33 ทองแดง) ด้วยแล้วจะมีเพส 0 เกิดขึ้นในปริมาณมากกว่า เพส K โลหะผสมจะมีความเหนียว และความแข็งแรงน้อยมาก จนไม่คุณประโยชน์ในการใช้งานด้าน วิศวกรรม เมื่อพูดถึงลักษณะโครงสร้างไออกอร์ฟูเทกติกที่ปราฏเพส 0 อยู่ในสภาพต่อเนื่องตามบริเวณ ของเกรน ซึ่งเป็นโครงสร้างของโลหะผสมที่ผ่านงานหล่อด้วยแบบทราย (Sand Casting) สามารถ ปรับปรุงคุณภาพด้วยความเหนียวให้ดีด้วยการอบชุบความร้อน โดยการนำไปเผาที่อุณหภูมิ 544 องศาเซลเซียส ใช้เวลาที่ไฟประ摹 48 ชั่วโมง ให้เพส 0 ลายตัว คือจะต้องของทองแดงให้กลับไป เป็นสารละลายของแข็ง K หรือไม่ก็อาจจะปรับตัวให้เป็นเม็ดกลมกระจัดกระจายอยู่ทั่วไปขาดความ ต่อเนื่อง งานนั้นนำไปทำให้เย็นโดยรวดเร็ว โดยการชุบน้ำไม่เปิดโอกาสให้เกิดเพส 0 ได้ทัน จะได้เพส K เป็นโครงสร้างพื้นฐานที่หุ่มเพส 0 ไว้ได้เป็นส่วนใหญ่ โลหะผสมที่ผ่านการอบชุบความร้อนดังกล่าวนี้ จะมีทั้งความแข็งแรง และความเหนียวอยู่ในเกณฑ์ดี

หมายเหตุ

- ไออกอร์ฟูเทกติก หมายถึง โลหะผสมที่มีรاثุต้ากว่าส่วนผสมที่จุดยูเทกติก
- ไออกอร์ฟูเทกติก หมายถึง โลหะผสมที่มีปริมาณรاثุตุผสมสูงกว่าส่วนผสมที่จุดยูเทกติก

2.5 การหล่อ

การหล่อเป็นวิธีการเทโลหะเหลวลงในช่องว่างของแบบหล่อที่มีรูปร่างตามต้องการ เมื่อแข็งตัว แล้วโลหะจะมีรูปร่างตามแบบแต่ออาจเกิดการหล่อตัวบ้าง วิธีการหล่อมักใช้เมื่อ

- ผลิตภัณฑ์มีขนาดใหญ่ หรือใช้วิธีการขึ้นรูปอ่อนได้ยาก
- โลหะที่จะขึ้นรูปมีความเหนียวแน่นอย่างเกินไปที่จะขึ้นรูปด้วยการขึ้นรูปด้วยการขึ้นร้อน หรือเย็น
- เมื่อเปรียบเทียบกับการขึ้นรูปวิธีอื่นแล้วพบว่าการหล่อเป็นวิธีที่ค่าใช้จ่ายต่ำสุดขั้นตอนสุดท้าย ในการทำให้โลหะบริสุทธิ์อาจเกี่ยวข้องกับการหล่อ เทคนิคการหล่อมีหลายวิธี คือการหล่อด้วยแบบ หล่อทราย หล่อด้วยแบบหล่อการ การหล่อใช้ความดันสูง การหล่อแบบอินเวสเมนท์ และการหล่อ แบบต่อเนื่อง ต่างกันจะกล่าวถึงรายละเอียดของการหล่อ โดยใช้แบบตาราง (มนัส, 2543)

2.5.1 การหล่อด้วยแบบหล่อโลหะ (Permanent Mold)

การหล่อแบบเทน้ำโลหะ โดยอาศัยแรงโน้มถ่วง (Gravity Pouring) โลหะที่ใช้เป็นแบบหล่อ ส่วนใหญ่จะเป็นเหล็กหล่อ ซึ่งมีพื้นเหล็กสีเทา และเหล็กหล่อเนหี่ยา (Ductile หรือ Spheroidal Graphite Cast Iron) ซึ่งเป็นเหล็กที่มีสมบัติทางด้านการแทรกร้าวซึ่งเกิดจากการเปลี่ยนแปลงอุณหภูมิอย่างรวดเร็ว (Thermal Shock) บางกรณีอาจใช้เหล็กกล้าคาร์บอน เหล็กกล้าผสม หรือโลหะผสมทองแดงขึ้นอยู่ขึ้นกับสมบัติพิเศษที่ต้องการ ดังเช่นการซ่อมแซมหล่อด้วยการเชื่อมได้ จะใช้เหล็กกล้า เพื่อยืดอายุของแบบหล่อ จะใช้โลหะผสมทองแดงในการนี้ต้องการความเป็นตัวนำความร้อนที่ดี เพื่อการเย็นตัวในอัตราสูงของงานหล่อ จะใช้โลหะผสมทองแดงในการนี้ต้องการความเป็นตัวนำความร้อนที่ดี เพื่อการเย็นตัวในอัตราสูงของงานหล่อ นอกจากโลหะดังกล่าวแล้วบางกรณีอาจใช้แกรไฟต์ หรือการบอนทำแบบหล่อ เพื่อความสะดวกในการตอบแต่ง (มนัส, 2543)

ในการออกแบบระบบของแบบหล่อ คงมีลักษณะเหมือนกับแบบหล่อทั่วไป คือตัวแบบหล่อจะต้องมีส่องส่วน โดยทำให้เกิดซ่องว่างที่เป็นระบบรู (Sprue) ทางวิง (Gates และ Runner) รูร้อน (Riser) ระบบทรัพยาแก๊ส (Vent) และซ่องว่างที่เป็นตัวแบบ (Mould Cavity) นำแบบหล่อทั้งสองส่วนมาประกอบกันยึดติดด้วยอุปกรณ์ช่วยยึดให้แน่น อาจจะติดตั้งบนที่ตั้งให้แน่นอนมีอุปกรณ์ช่วยยึดแบบให้แน่น และมีระบบแยกส่วนของแบบหล่อ ภายหลังการเทโลหะหลอมเหลวลงแบบหล่อแล้ว เพื่อความสะดวกในการทำงานให้เกิดความรวดเร็ว และแน่นอนมีประสิทธิภาพ ลักษณะของแบบหล่อพร้อมอุปกรณ์ติดตั้งบนแท่นพร้อมที่จะเทโลหะหลอมเหลว

2.5.2 งานหล่อโลหะอะลูมิเนียม (Aluminum Casting Technology)

โลหะผสมอะลูมิเนียมจัดเป็นโลหะผสมที่มีสมบัติทางด้านหล่อหลอมดีชนิดหนึ่ง เพราะมีจุดหลอมเหลวต่ำ และมีความสามารถในการไหลเข้าแบบหล่อติดทำให้สามารถหล่อเป็นรูปร่างได้สะดวกแม้จะมีรูปร่างซับซ้อน ขั้นงานหล่อมีความหนาไม่น่ากีดกั้นการหล่อโลหะผสมอะลูมิเนียมจึงสามารถใช้เทคนิคการหล่อหลอมได้หลายวิธี ดังเช่นการใช้วิธีหล่อด้วยแบบทราย (Sand Mold) หล่อด้วยแบบหล่อที่เป็นโลหะใช้แรงดันฉีดโลหะเข้าแบบหล่อ (Pressure Die Casting) หล่อด้วยแบบหล่อที่เป็นพลาสเตอร์ (Plaster mold) หรือหล่อแบบอินเวสต์เม้นต์ (Investment Casting) และวิธีอื่นๆ (มนัส, 2543)

2.5.3 เทคนิคการหลอมโลหะอะลูมิเนียม

สมบัติของโลหะที่เหมาะสมสำหรับการหล่อหลอม (Casting Metal) ควรจะมีสมบัติที่สำคัญหลายประการ ดังนี้ คือ

- ควรจะมีสมบัติไหลง่าย (Good Fluidity) สามารถไหลผ่านทางช่องแคบๆ หรือไหลไปตามช่องทางของแบบที่ลึกซับซ้อนได้ง่าย
- มีจุดหลอมต่ำสะดวกในการหล่อหลอม (Low Melting Point)

- ไม่ยอมให้แก๊สได้ฯ ละลายได้ง่ายในขณะหลอมเหลว (Low Gas Solubility)
- ไม่แตกประจายในขณะแข็งตัว (Not Hot Shortness)
- สามารถสมราฐานต่างๆ เข้าได้ง่าย และกระจายตัวสม่ำเสมอ (Good Chemical Reproducibility)

- ให้ผิวงานหล่อที่เรียบไม่ติดทรายแบบ หรือสเกล (Good cast Surface Finish)

เราจะไม่พูดโลหะชนิดใดที่จะให้สมบัติทางด้านหล่อหลอมครบถ้วนตามที่กล่าวมานี้เลยยกเว้นโลหะอะลูминียมที่ให้สมบัติที่เข้าไก่มากที่สุด จะเห็นได้ว่าโลหะอะลูминียมมีจุดหลอมตัวต่ำประมาณ 690 องศาเซลเซียส ถึง 730 องศาเซลเซียส มีช่องการแข็งตัวยาว และໄโนลได้ง่ายทำให้ปั้นหาทางด้านรัสตุ์แบบหล่อ (Molding Material) หมุดไปปั้นหาที่สำคัญ และจัดเป็นเรื่องที่ต้องระวังตระหนึ่งในการหล่อหลอมอะลูминียมก็คือสมบัติประจำแตกง่ายในช่วงการเกิดการแข็งตัว และอีกประการหนึ่ง คืออะลูминียมยอมให้แก๊สโดยเฉพาะไฮโดรเจนละลายได้มากในสภาพหลอมเหลว และปริมาณของแก๊สจะลดลงเมื่ออะลูминียมแข็งตัว นอกจากนี้อะลูминียมรวมตัวกับออกซิเจนและกลาญเป็นอะลูминิเมียมออกไซด์ (Al_2O_3) ได้ง่าย และมีความต่างจำเพาะไกลเคียงกับโลหะอะลูминียมทำให้การแยกตัวของอะลูминียมออกไซด์เป็นไปได้ยากอันจะมีผลทำให้อะลูминียมออกไซด์สามารถหละปะปนกับโลหะอะลูминียมเข้าแบบหล่อทำให้ได้ชิ้นงานหล่อที่มีคุณภาพต่ำ ประการสุดท้ายที่จัดว่าสำคัญไม่น้อยก็ คือ เรื่องการหดตัวในสภาวะของแข็งค่อนข้างสูง (ร้อยละ 3.5-8.5) ทำให้ควบคุมขนาดการหล่อได้ยาก ทั้งหมดที่กล่าวมานี้เป็นสิ่งที่จะต้องแก้ไขขณะทำการหล่อหลอม เพื่อให้ได้งานหล่อที่มีคุณภาพดีตามมาตรฐาน (มนส, 2543)

2.6 การออกแบบโมล (Mold Design)

เนื่องจากการเย็นตัวของโลหะภายในแบบอยู่ในเกณฑ์สูง การออกแบบจำเป็นจะต้องวางแผนทางวิธีของโลหะให้มีการไหลวน (Turbulence) น้อยที่สุด เพื่อป้องกันการดูดอากาศของโลหะในขณะหล่อเข้าสู่แบบหล่อ การควบคุมความแตกต่างของอุณหภูมิ (Thermal Gradient) ของโลหะภายหลังเมื่อไหลเข้าไปเต็มแบบหล่อแล้วมีความสำคัญเช่นกัน ทั้งนี้ เพื่อให้การแข็งตัวของโลหะจะเริ่มจากส่วนที่บางที่สุดไปยังส่วนที่หนา และต่อไปยังตำแหน่งของไรเซอร์ เป็นไปในลักษณะมีทิศทาง (Directional Solidification) โดยหลักทางด้านปฏิบัติแล้วส่วนที่หนา หรือส่วนที่มีปริมาณมากที่สุดจะต้องอยู่ติดกับไรเซอร์ เพื่อให้โลหะในไรเซอร์สามารถไหลไปชดเชยส่วนที่มีการหดมากที่สุดของงานหล่อ เพื่อให้ได้ชิ้นงานหล่อมีเนื้อแน่น (Sound Casting) ปราศจากรู หรือโพรงหลอด (Shrinkage Cavity) ทั้งรูเท, ทางวิ่ง, และไรเซอร์จะต้องออกแบบให้อยู่ในแนวเดียวกันบนรอยแยก (Parting Surface) ของแบบหล่อ เพื่อให้สามารถแกะออกจากแบบได้พร้อมกันกับชิ้นงานหล่อ เมื่อจากลักษณะของแบบหล่อที่เป็นโลหะมีลักษณะเฉพาะตัว (Rigid) การหดตัวของโลหะภายในแบบหล่อถ้ามีส่วนของแบบหล่อไปข้างการหดตัวจะทำให้โลหะขณะหดตัวเกิดความเครียด (Stress) ขึ้นตามบริเวณต่างๆ อันจะทำให้เกิดการแตกร้าว จึงต้องระมัดระวังในการออกแบบ สิ่งสำคัญอีกประการหนึ่ง คือ เรื่องของการระบายน้ำ

โดยออกจากแบบหล่อต้องวางแผนระบบให้อาการศมีทางหนีออกได้สะดวก เพราะถ้าอากาศออกไม่ได้จะเกิดความดันขึ้น และต้านการไหลเข้าแบบหล่อของโลหะ หรืออาจจารวมตัวกับโลหะขณะยังหลอมเหลว ทำให้เดชั้นงานหล่อที่มีฟองอากาศ (มนัส, 2543)

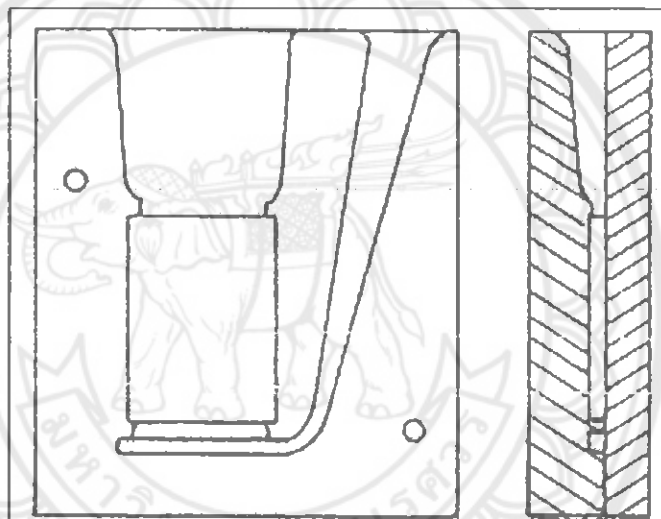
จากการที่แสดงต่อไปนี้ จะเป็นลักษณะของการออกแบบงานหล่อที่ใช้แบบหล่อเป็นโลหะซึ่งมีระบบทางริ่ง (Gates System) อยู่ส่วนลักษณะ คือ

2.6.1 ระบบ Bottom Gate ทางเข้าไฟร่องแบบจะอยู่ข้างล่าง

2.6.2 ระบบ Side Gates ทางเข้าไฟร่องแบบอยู่ด้านข้าง

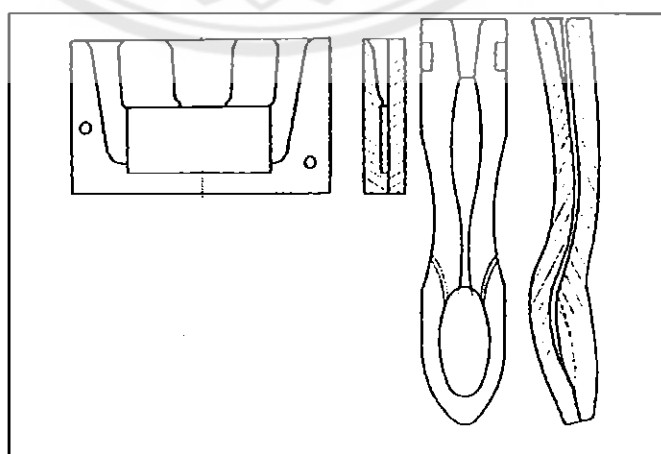
2.6.3 ระบบ Top Gate ทางเข้าไฟร่องแบบอยู่ด้านบน

แต่ละระบบที่แตกต่างกัน ส่วนใหญ่จะเหมาะสมกับลักษณะของงานหล่อแต่ละแบบ และลักษณะสมบัติของโลหะที่จะหล่อแต่ละชนิด



รูปที่ 2.2 Bottom Gate

ที่มา : มนัส (2543)



รูปที่ 2.3 Side Gate

ที่มา : มนัส (2543)

2.7 การแข็งตัวของโลหะ

การแข็งตัว (Solidification) ของโลหะ หรือการแข็งตัวของโลหะผสมมี 2 ขั้นตอน คือนิวคลีอชัน (Nucleation) เป็นขั้นตอนการเกิด นิวคลีโอ (Nuclei) ที่อยู่ในมวลโลหะที่หลอมเหลว

การเติบโตของนิวคลีโอ โดย นิวคลีโอในโลหะเหลวจะโตขึ้นจนเป็นผลึก และผลึกเหล่านี้จะต่อ กันเป็นโครงสร้างของกราน (Grains) เรียกว่า ��面 (Grain Boundaries) นิวคลีอชันในโลหะที่หลอมเหลว (ชาลิต, 2542)

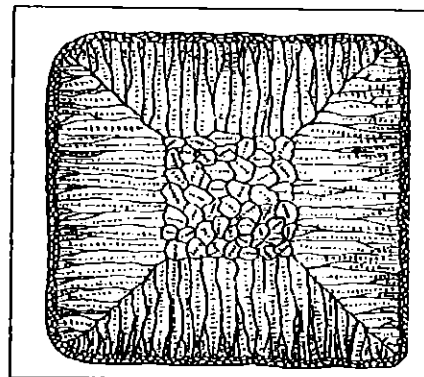
การเกิดนิวคลีโอในโลหะเหลว มี 2 ลักษณะดังนี้

โอมิเนียส นิวคลีอชัน (Homogeneous Nucleation) อะตอมโลหะที่หลอมเหลวจะเกาะกัน เป็นอนุภาคเล็กๆ ที่เรียกว่า นิวคลีโอ และโตขึ้นเรื่อยๆ จนกระทั่งอนุภาคมีขนาดเท่ากับขนาดวิกฤติ (Critical Size) และกลายเป็นนิวเคลียส (Nucleus) ซึ่งจะเสียร แล้วเป็นผลึกต่อไปอย่างไร้ตาม หากอนุภาคที่มีขนาดเท่ากับขนาดวิกฤตินั้นเล็กลง เรียกว่า อีมบริโอ (Embryo) อาจหลอมลงไป กลายเป็นโลหะเหลวใหม่ได้ นิวคลีโอ ก็อาจหลอมกลับไปเป็นของเหลวใหม่ได้ เช่นเดียวกัน โอมิเนียส นิวคลีอชัน จะเกิดขึ้นในการแข็งตัวของโลหะเดียวบริสุทธิ์ ไม่มีสิ่งเจือปน

ไฮเตอร์โรจีเนียส นิวคลีอชัน (Heterogeneous Nucleation) จะเกิดขึ้นในกระบวนการหล่อ โลหะในอุตสาหกรรม ซึ่งมีการผสมสารที่ทำให้กรานละเอียด (Grain Refiner) ตามที่ต้องการ หรือมี สิ่งเจือปนอื่นๆ หรือการเกิดนิวคลีโอ บริเวณผิวของแบบหล่อซึ่งเป็นเรื่องที่รู้ว่าบริเวณอื่นเป็นต้น

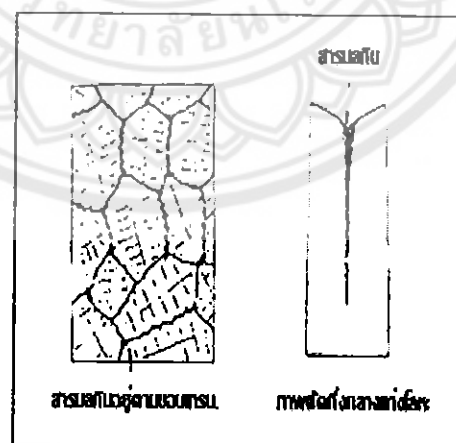
2.7.1 โครงสร้างจากการแข็งตัวของชิ้นงานหล่อ

น้ำโลหะจากเตาหลอมเมื่อถูกเทลงสู่แบบหล่อ การแข็งตัวของน้ำโลหะก็จะเพิ่มขึ้น โดย ชิ้นงานหล่อนั้นจะเริ่มเย็นตัวจากบริเวณที่สัมผัสถักกันแบบหล่อ และเมื่อความร้อนจากน้ำโลหะถูกส่ง ถ่ายไปยังแบบหล่อน้ำโลหะที่ส่วนนั้นจะเย็นตัวลงจนถึงจุดแข็งตัว และเกิดผลึก (Chill Crystal) ซึ่ง ผลึกเหล่านั้นจะมีจำนวนมาก และในขณะเดียวกันบริเวณภายในของชิ้นงานหล่อจะเย็นตัวลงด้วยแต่ การเย็นตัวจะเกิดขึ้นช้ากว่าภายใน ดังนั้น ผลึกจะขยายตัวจากจุดเริ่มต้นการเย็นตัวบริเวณนอก เข้าสู่ภายในของแบบหล่อ จึงทำให้ผลึกมีลักษณะเรียวยาว (Columnar) เมื่อพิจารณา率ปีที่ 2.4 จะ เห็นโครงสร้างเรียวยาวนี้อย่างชัดเจนทั้งนี้ เพราะว่ามีความแตกต่างกันมากระหว่างอุณหภูมิภายในกับ ภายนอกชิ้นงานหล่อ (ชาลิต, 2542)



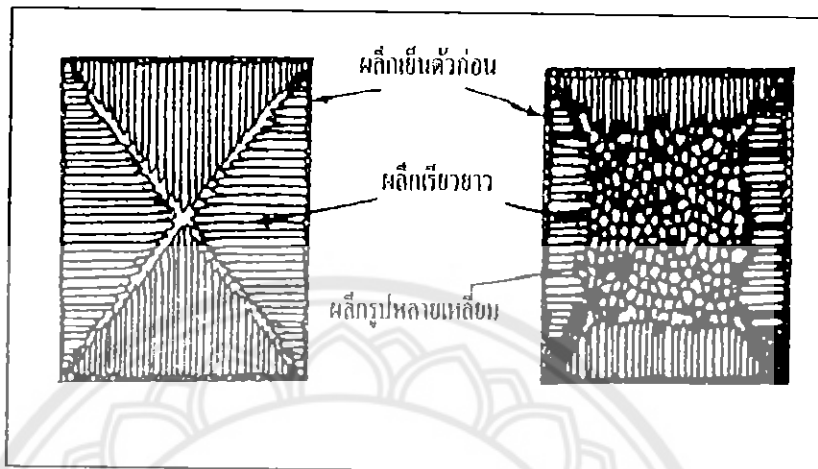
รูปที่ 2.4 ลักษณะการเกิดผลึกของงานหล่อ
ที่มา : วิหาร (2548)

อีกประการหนึ่งก็ คือ ในขณะหลอมละลายโลหะในเตาหล่อันนั้นย้อนมีสารมลพิณเกิดขึ้น และสารมลพิณเหล่านั้นจะรวมอยู่กับน้ำโลหะในขณะที่เทน้ำโลหะลงสู่แบบหล่อ และเมื่อน้ำโลหะเกิด การเย็นตัวสารมลพิณก็จะแยกตัวออกมา โดยสารมลพิณเหล่านั้นอาจจะรวมตัวกัน โดยสารมลพิณเหล่านั้นอาจจะรวมกันอยู่บริเวณกึ่งกลางของชิ้นงานหล่อ (Major Segregation) แต่ถ้าสารมลพิณบางส่วนถูกผลักดันโดยเกรนที่กำลังเติบโตให้ออกไปอยู่บริเวณขอบเกรนทั้งนี้ก็ เพราะว่าเกรนทุกเกรน ต่างก็เติบโต และผลักดันสารมลพิณออกไปสู่ขอบเกรนทั้งสิ้นเราเรียกการรวมตัวของสารมลพิณที่บริเวณนี้ว่า Minor Segregation แต่ยังมีมลพิณบางชนิดสามารถแทรกตัวกระจายอยู่ภายในเกรนของโลหะ โดยจะอยู่ในรูปของสารประกอบของแมงกานีสชั้สไฟต์ (MnS) ซิลิก้า (SiO_2) และอะลูมินา (Al_2O_3) ซึ่งสารประกอบทั้งสามชนิดนี้จะพบในโครงสร้างของเหล็กกล้า



รูปที่ 2.5 ลักษณะการแยกตัวของสารมลพิณอยู่ตามขอบเกรนและกึ่งกลางของแท่งโลหะ
ที่มา : ชาลิต (2542)

ดังได้กล่าวมาแล้วว่า การแข็งตัวของชิ้นงานหล่อจะเริ่มต้นที่ผิวนอกไปจนถึงกึ่งกลางของชิ้นงานเวลาทั้งหมดในระหว่างการแข็งตัวจากผิวนอกถึงกึ่งกลางนั้น จะเป็นสัดส่วน โดยตรงกับปริมาตรของน้ำโลหะกับพื้นที่ผิวสัมผัสของน้ำโลหะ



รูปที่ 2.6 รูปตัดการเกิดผลึกในลักษณะต่างๆ ของโลหะหล่อ
ที่มา : ชาลีต (2542)

จากสิ่งที่ได้กล่าวมาแล้ว อาจสรุปลักษณะสำคัญบางอย่างในการแข็งตัวของชิ้นงานหล่อ ดังต่อไปนี้

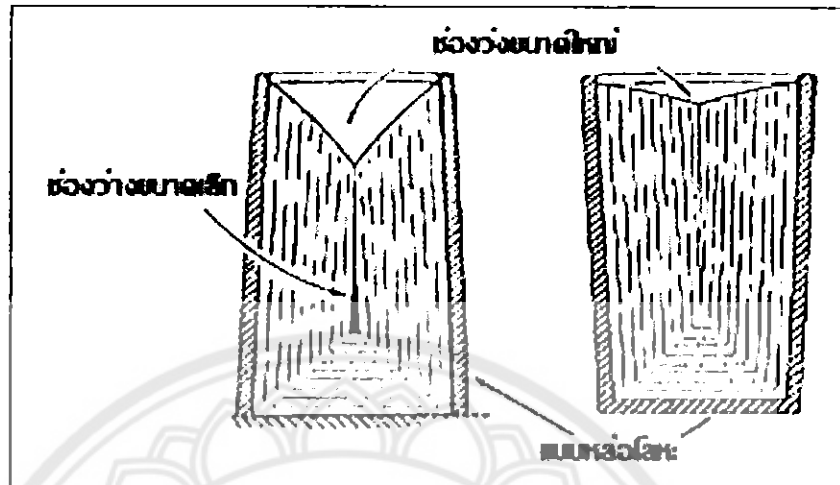
2.7.1.1 ผลึกลักษณะเรียวยาว จะปรากฏอย่างขัดเจนในชิ้นงานหล่อ ก็ต่อเมื่อมีความแตกต่างกันระหว่างอุณหภูมิภายนอก และภายในชิ้นงานหล่อลักษณะเช่นนี้จะเกิดขึ้นกับงานหล่อที่ผ่านการหล่อโดยใช้แบบหล่อทำจากโลหะ หรืองานหล่อที่หลอมละลายโลหะที่อุณหภูมิสูงเกินอุณหภูมิเทมากเกินไป ดังรูปที่ 2.6

2.7.1.2 ผลึกลักษณะเรียวยาว จะปรากฏไม่ขัดเจน คือเกิดขึ้นเพียงเล็กน้อยเท่านั้น ทั้งนี้เนื่องจากมีความแตกต่างกันระหว่างอุณหภูมิภายนอก และภายในชิ้นงานไม่มากนักลักษณะเช่นนี้ จะเกิดขึ้นกับงานหล่อที่ผ่านการหล่อโดยใช้แบบหล่อทำจากทราย

อนึ่ง บริเวณของทรงกลางชิ้นงานหล่อจะมีการเปลี่ยนแปลงอุณหภูมิไม่มาก และจะเกิดเป็นผลึกเล็กๆ รูปหกเหลี่ยม (Fine-Axed Grains) ที่เติบโตได้หลายพิเศษจนทำให้ผลึกลักษณะเรียวยาวที่เกิดขึ้นภายนอกไม่สามารถขยายตัวต่อไปได้ ดังรูปที่ 2.6

นอกจากลักษณะโครงสร้างของผลึกที่ได้กล่าวมาแล้ว ยังมีโครงสร้างของผลึกในลักษณะอื่นๆ อีก เช่น โครงสร้างของผลึกที่มีฟองอากาศเกิดจากการเปลี่ยนสถานะน้ำโลหะ ทั้งนี้ก็ เพราะว่าขณะที่น้ำโลหะที่มีความร้อนสูงสัมผัสกับแบบหล่อจะมีแก๊สเกิดขึ้น และแก๊สเหล่านั้น ส่วนแก๊สที่เหลืออยู่จะแทรกตัวอยู่กับโครงสร้างของผลึก ตัวอย่างเช่น เหล็กที่มีคาร์บอนผสมอยู่ เมื่อมีแก๊สออกซิเจนเกิดขึ้นแก๊สนี้อาจจะรวมตัวกันกับเหล็กได้เหล็กออกไซด์ และถ้ารวมกันกับคาร์บอนก็จะได้

แก๊สคาร์บอนไดออกไซด์ ซึ่งมีสถานะเป็นแก๊สที่ตอกค้างอยู่ในน้ำโลหะจนทำให้เกิดเป็นโพรง (Blow-Holes) ในโครงสร้างของผลึก



รูปที่ 2.7 ลักษณะการเกิดโพรงอากาศอันเนื่องมาจากการหดตัวของน้ำโลหะ
ที่มา : ชาลิต (2542)

อนึ่ง โพรงอากาศจากจะเกิดจากการแทรกตัวของแก๊สในน้ำโลหะแล้ว ยังอาจจะเกิดโพรงอากาศได้จากการหดตัวของน้ำโลหะอีกด้วยทั้งนี้ก็ เพราะว่าการหดตัว (Shrinkage) ของน้ำโลหะ ในขณะที่น้ำโลหะเริ่มเปลี่ยนแปลงสถานะทำให้เกิดช่องว่างซึ่งมีทั้งขนาดใหญ่คล้ายท่อ (Pipe) หรือมีขนาดเล็กซึ่งเรียกว่า Secondary Pipe

2.7.2 การแข็งตัวของโลหะผสม (Solidification of Alloy)

โลหะผสมหมายถึง ขณะที่ทำการหลอมโลหะชนิดหนึ่งแล้วมีการผสมเติมธาตุซึ่งอาจจะเป็นโลหะลงในน้ำโลหะที่กำลังหลอมละลายที่อุณหภูมิสูงกว่าอุณหภูมิสูงกว่าอุณหภูมิหลอมละลายของโลหะนั้นการเติมสารผสมเติมธาตุหรือโลหะจะนิยมกำหนดสัดส่วนผสมโดยน้ำหนัก เพื่อให้โลหะผสมที่ได้มีอัตราส่วนผสมเป็นร้อยละ 100 โดยน้ำหนัก เช่น ทองเหลืองร้อยละ 40 โดยน้ำหนัก Zn ร้อยละ 60 โดยน้ำหนัก Cu จะหมายถึงเมื่อเทียบให้น้ำหนักทองเหลืองทั้งหมดเป็นร้อยละ 100 ในเนื้อโลหะผสมดังกล่าวจะมีน้ำหนักของทองแดงร้อยละ 60 และน้ำหนักสังกะสีร้อยละ 40 การผสมเติมในระหว่างที่โลหะชนิดหนึ่งกำลังหลอมละลายธาตุ หรือโลหะที่ถูกผสมเติมลงไปจะเรียกว่า ธาตุผสมเติม (Alloying Elements) (วิหาร, 2548)

โลหะผสมดังกล่าวอาจจะเป็นโลหะผสมสองธาตุ หรือมากกว่านั้นก็ได้ ทั้งนี้แล้วแต่ข้อกำหนดมาตรฐานโลหะที่ทำการตกลงให้เป็นไปตามมาตรฐานที่ต้องการจะใช้งานโลหะผสมนั้นๆ ธาตุที่ถูกผสมเติมลงไปอาจจะหลอมละลาย หรือละลายทั้งนี้แล้วแต่พฤติกรรมธรรมชาติของแต่ละธาตุ

2.7.2.1 การแข็งตัวของน้ำโลหะผสมจะเกิดขึ้น โดยมีช่วงทั่งอุณหภูมิระหว่างอุณหภูมิเริ่มต้น และอุณหภูมิสิ้นสุดการแข็งตัวระยะหนึ่ง เรียกอุณหภูมิเริ่มต้นแข็งตัวว่า Liquidus และอุณหภูมิสิ้นสุดการแข็งตัวว่า Solidus แต่โลหะบริสุทธิ์จะแข็งตัวที่อุณหภูมิคงที่อุณหภูมิเดียว

2.7.2.2 ในระหว่างการแข็งตัวของน้ำโลหะผสมจะเกิดมีความต่างส่วนผสมทางเคมี (Composition Gradient) ของมวลโลหะที่แข็งตัวแยกออกจากน้ำโลหะก่อน และหลังในช่วงระยะเวลา ต่างกันนอกจากมวลโลหะแข็งจะมีความต่างส่วนผสมทางเคมีแล้ว น้ำโลหะในส่วนที่สัมผัสกับมวลโลหะแข็ง และน้ำโลหะส่วนที่อยู่ห่างไกลจะมีส่วนผสมทางเคมีที่แตกต่างกันด้วย

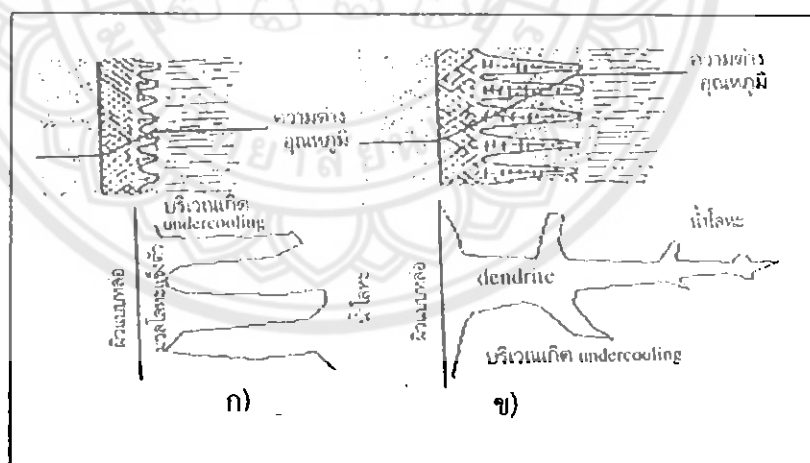
2.7.2.3 โลหะที่เกิดจากการแข็งตัวของน้ำโลหะอาจจะมี องค์ประกอบของเนื้อโลหะ (Phases) เพียงชนิดเดียว หรือหลายชนิดที่แตกต่างกันได้หลายองค์ประกอบเนื้อโลหะจะมีสมเหตุผลทางเคมีที่แตกต่างกัน ทั้งนี้ขึ้นกับพฤติกรรมธรรมชาติของโลหะกับธาตุต่างๆ ที่ผสมเติมลงในน้ำโลหะนั้น

2.7.2.4 การแข็งตัวของโลหะผสมชนิดสารละลายของแข็ง (Solid Solution Alloys) โลหะผสมชนิดสารละลายของแข็ง หมายถึง โลหะผสมชนิดที่โลหะต่างชนิดเมื่อนำมาหลอมผสมรวมกันจะสามารถละลายเข้าเป็นเนื้อเดียวกันได้ทั้งสภาวะที่เป็นของเหลว และของแข็ง เช่น โลหะผสมของทองแดง-nickel ก็เป็น

2.7.2.5 การที่โลหะสองชนิดจะละลายเข้าเป็นเนื้อเดียวกันในสภาวะของแข็งได้นั้น ขนาดรัศมีอะตอมของโลหะ และธาตุที่ผสมเติมจะต้องมีขนาดรัศมีอะตอมที่ใกล้เคียงกัน เช่น เมื่อผสมเติมโลหะ (ธาตุ) B ลงในน้ำโลหะ A ที่กำลังหลอมละลายโลหะ (ธาตุ) B อาจจะหลอมละลาย หรือ ละลายเข้าเป็นเนื้อเดียวกันกับน้ำโลหะ A ได้ ทั้งนี้ขึ้นกับระดับอุณหภูมิหลอมละลายของโลหะ B เช่น ทองแดง และสังกะสี มีอุณหภูมิหลอมละลายที่ 1085 องศาเซลเซียส และ 419.5 องศาเซลเซียส ตามลำดับถ้าสมมุติให้โลหะ B มีระดับอุณหภูมิหลอมละลายสูงกว่าโลหะ A เมื่อใส่โลหะ B ลงในน้ำโลหะ A ที่กำลังหลอมละลายอยู่ในขณะนั้น โลหะ B จะไม่เกิดการหลอมละลายแต่ความร้อนจากน้ำโลหะจะทำให้ระดับอุณหภูมิของ แห่งโลหะ B สูงขึ้นเรื่อยๆ ถ้าปริมาณการผสมโลหะ B มีปริมาณเพียงเล็กน้อย ปริมาณความร้อน จากน้ำโลหะ A อาจจะมากพอที่ทำให้ก้อนโลหะ B ร้อนมากจนมีระดับอุณหภูมิใกล้หลอมละลาย ความร้อนที่สะสมที่ผิวน้ำของแห่งโลหะ B จะทำให้อะตอมของโลหะ B แยกตัวไปปลายปะปนในน้ำโลหะ A ทีละน้อยๆ จนแห่งโลหะ B ลดขนาดเล็กลง และละลายหมดไปในที่สุด แต่จะต้องใช้ระยะเวลาที่ยาวนานค่อนข้างมาก

2.7.2.6 ในความเป็นจริงสิ่งหนึ่งที่เกิดขึ้นในธรรมชาติของการแข็งตัวของน้ำโลหะที่เป็นโลหะผสม คือ ก้อนที่โลหะแข็งจะแยกออกจากน้ำโลหะ และแขวนลอยปะปนกับน้ำโลหะนั้น จะมีอัตราส่วนผสมทางเคมีที่แตกต่างกันเป็นขั้นทึมพอกันตามลำดับการแข็งตัว จะพบว่าขณะที่โลหะหั้งส่องชนิดหลอมละลายน้ำโลหะผสม ที่ได้จะมีสภาวะเป็นสารละลายของเหลว โดยทุกส่วนของปริมาตรน้ำโลหะจะมีสัดส่วน ปริมาณ ของอะตอมโลหะ B กระจายอย่างสม่ำเสมอในปริมาณเฉลี่ยร้อยละ C_0 ถ้าอัตราการลดอุณหภูมิของน้ำโลหะจากระดับที่สูงกว่าอุณหภูมิหลอมละลายลงผ่านอุณหภูมิแข็งตัวของโลหะในยัตรากการลดอุณหภูมิลดต่ำลงตามธรรมชาติแล้ว (ด้วยอัตราการลดอุณหภูมิเข้าใกล้ 0

องศาสตร์เชิงสัตอวินาที) ก้อนโลหะที่แข็งตัวแยกออกจากน้ำโลหะจะมีปริมาณของอะตอมโลหะ B แทรกในระบบผลึกของอะตอมโลหะ A ในสภาวะที่เป็นสารละลายของแข็งด้วยปริมาณร้อยละ C_0 B พฤติกรรมที่เกิด คือ เมื่ออุณหภูมิค่อยๆ ลดลงน้ำโลหะจะเกิดภาวะ Under Cooling ที่จุด a บนเส้น Liquidus อะตอมโลหะ A จะแยกโลหะ A จะแยกตัวออกจากน้ำโลหะ และจับตัวเป็นผลึก หลายๆ ผลึกจับตัวเป็นนิวเคลียสเริ่มต้นการแข็งตัว อะตอมโลหะ A จะแยกตัวออกจากมากขึ้นตามระยะเวลาที่เพิ่มขึ้น และอุณหภูมิที่ลดลงถ้าอัตราการลดอุณหภูมิมีอัตราการแพร่ที่ช้ามากๆ แล้ว อะตอมของโลหะ B จะสามารถแพร่เข้าสู่ระบบผลึกของโลหะ A ในมวลโลหะที่แข็งตัวแยกออกจากน้ำโลหะได้กระบวนการนี้จะดำเนิน เรื่อยไปจนระดับอุณหภูมิลดลงถึงจุด b บนเส้น Solidus ซึ่งเป็นจุดสิ้นสุดของการแข็งตัวของน้ำโลหะ ผู้คนนิยมส่วนผสมนี้โครงสร้างจุลภาคของเนื้อโลหะที่มองเห็นจากกล้องจุลทรรศน์จะมีลักษณะที่เดียวกัน โดยเนื้อโลหะทุกๆ เกรนจะมีความสม่ำเสมอ กันของอัตราส่วนผสมระหว่างโลหะ A และ B แต่ในสภาพความเป็นจริงอัตราการแข็งตัว และอัตราการลดอุณหภูมิที่เกิดขึ้นในโครงแบบหล่อจะเกิดขึ้นอย่างรวดเร็วมาก โดยอัตราการลดอุณหภูมิจะมีโอกาสเข้าใกล้ 0 องศาเซลเซียสต่อวินาที ได้น้อยมาก การลดอุณหภูมิที่เกิดขึ้นอย่างรวดเร็วจะทำให้การแพร่องตอมโลหะ B เข้าสู่ระบบผลึกอะตอมโลหะ A ถูกหน่วง หรือขัด หรือไม่เกิดการแพร่เลยก็ได้ ทั้งนี้แล้วแต่ อัตราการลดอุณหภูมิว่าลดลงแบบรวดเร็ว หรือแบบเฉียบพลันจากสภาวะหลอมละลายผ่านอุณหภูมิ Solidus การหน่วง หรือการหยุดแพร่องตอมของอะตอมของโลหะ B จากน้ำโลหะเข้าสู่ระบบผลึกของมวลโลหะแข็งจะมีผลทำให้ปริมาณความเข้มข้นของอะตอมโลหะ B ในแต่ละตำแหน่งไม่สม่ำเสมอ กัน



รูปที่ 2.8 กลไกการเกิดเด่นไดร์ท

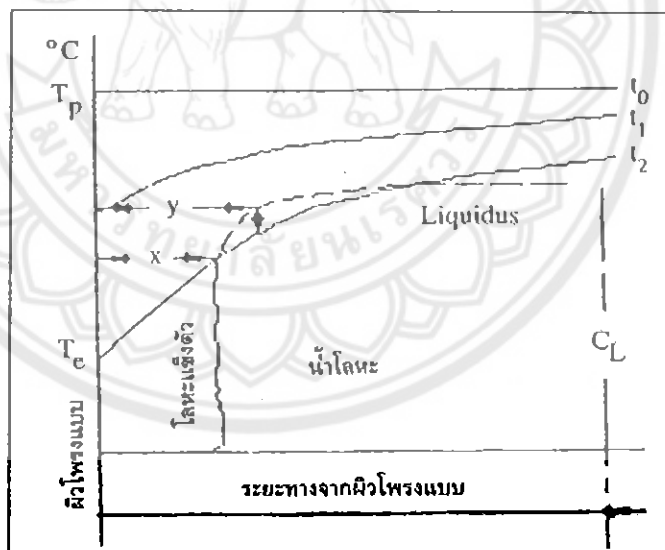
ก) Degree of Undercooling ต่ำ

ข) Degree of Undercooling มา

ที่มา : เจนนรงค์ (2547)

2.7.2.7 สมมุติว่าทำการหลอมโลหะผสมโดยโลหะผสมชนิดนี้อุณหภูมิแข็งตัวที่ T_e ด้วยการเทน้ำโลหะสามารถกระทำได้อย่างรวดเร็วมากจนน้ำโลหะเดิมแบบหล่อด้วยเวลา $t_0 = 0$ วินาที เช่นเดียวกับที่เกิดขึ้นในการพิจารณาโลหะบริสุทธิ์ผิวไฟรงแบบหล่อจะยังคงภาวะที่มีอุณหภูมิห้อง และน้ำโลหะยังคงภาวะที่มีอุณหภูมิเท่าระดับอุณหภูมิจะสูงกว่าอุณหภูมิหลอมละลายมากเมื่อพิจารณาพฤติกรรมการแข็งตัวของโลหะผสมดังกล่าวไปพร้อมๆ กับการเกิด Undercooling ในน้ำโลหะ และการเกิดความแตกต่างอุณหภูมิในวัสดุแบบหล่อ ที่เวลา t_0 จะเป็นเวลา ก่อนที่จะเกิดการแข็งตัวของน้ำโลหะ เมื่อระยะเวลาเปลี่ยนแปลงเป็น t_1 จะเกิดความแตกต่างอุณหภูมิขึ้นในวัสดุ

2.7.2.8 แบบหล่อที่เกิดความร้อนจากการรับความร้อนจากน้ำโลหะ ในน้ำโลหะจะเกิดภาวะUndercooling และเริ่มมีก้อนโลหะแข็งแยกตัวออกจากน้ำโลหะในขณะเดียวกันจะเกิดความต่างอุณหภูมิในน้ำโลหะ โดยที่อุณหภูมน้ำโลหะที่ผิวสัมผัสไฟรงแบบจะมีอุณหภูมิต่ำกว่าน้ำโลหะที่อยู่ส่วนที่ถัดลึกเข้าสู่ใจกลางของมวลน้ำโลหะผสมจะแตกต่างไปจากที่เกิดขึ้นในโลหะบริสุทธิ์แต่การแข็งตัวของโลหะผสมจะแตกต่างไปจากที่เกิดขึ้นในโลหะบริสุทธิ์โดยอุณหภูมิ Liquidus ที่เป็นอุณหภูมิเริ่มตัวการแข็งตัวของน้ำโลหะส่วนที่เหลือจะเปลี่ยนตามระยะทางที่ถัดลึกจากผิวไฟรงแบบหล่อมากขึ้นดัง เส้นประใน รูปที่ 2.9 ในบริเวณผิวสัมผัสมวลโลหะแข็งน้ำโลหะซึ่งจะเรียกว่า Solidification Front



รูปที่ 2.9 อุณหภูมน้ำโลหะในไฟรงแบบหล่อ
ที่มา : วิหาร (2548)

จะมีปริมาณอะตอมของโลหะ B มากที่สุดเสมอในขณะที่การแข็งตัวของน้ำโลหะรุกคืบเข้าสู่ส่วนกลางของมวลน้ำโลหะ B มากที่สุดเสมอในขณะที่การแข็งตัวของน้ำโลหะรุกคืบเข้าสู่ส่วนกลางมวลน้ำโลหะ จะเป็นผลทำให้น้ำโลหะในบริเวณนี้มีระดับอุณหภูมิในการแข็งตัวต่ำกว่าอุณหภูมิ T_e มากขึ้นตามปริมาณอะตอม B ที่เพิ่มมากขึ้นช่วงระยะเวลาดังกล่าวบนน้ำโลหะที่ห่างไกลจาก

Solidification Front มากagy คณีระดับอุณหภูมิในการแข็งตัวที่ T_e เช่นเดิม ทั้งนี้เนื่องจากบริเวณดังกล่าวไม่มีการแพร่ของอะตอมของโลหะ B ออกจากบริเวณดังกล่าวเลย

2.7.2.9 เมื่อพิจารณาโลหะผสมที่จุด X ในรูปที่ 2.9 จะเห็นว่าน้ำโลหะที่จุด X จะมีอุณหภูมิเปลี่ยนไปตามเส้นประอุณหภูมิตามเส้นประนี้จะสูงกว่าโลหะที่ผิวสัมผัสไฟร์แบบหล่อ นอกจากน้ำอุณหภูมิจริงน้ำโลหะที่จุด X ยังสูงกว่าอุณหภูมิมวลโลหะแข็งที่ผิวสัมผัสไฟร์แบบหล่ออย่างไรก็ตามสังเกตเห็นได้ว่าอุณหภูมิจริงของน้ำโลหะที่จุด X และอุณหภูมิ Liquidus จะแตกต่างกับอุณหภูมิมวลโลหะแข็งที่ผิวสัมผัสไฟร์แบบหล่อน้ำโลหะผสมที่จุด X น้ำดัดเจน ดังนั้นจึงกล่าวได้ว่าน้ำโลหะที่จุด X กำลังเกิดภาวะ Undercooling และพร้อมที่เกิดการแข็งตัวเกาะพอกมวลโลหะแข็งส่วนที่เป็น Solidification Front พฤติกรรมดังกล่าวจะต่อเนื่องเรื่อยไปจนถึงบริเวณใจกลางมวลของน้ำโลหะ เพื่อให้เกิดความขัดเจนมากยิ่งขึ้น เมื่อพิจารณาน้ำโลหะสองชนิดที่ต่างส่วนผสมเคมีโดยพิจารณาในบริเวณผิวสัมผัสมวลโลหะแข็ง-น้ำโลหะในบริเวณจุด X ถ้าชนิดแรกจะมีส่วนผสมทางเคมีที่จุด X เป็นร้อยละ 10 ของ B และชนิดที่สองมีส่วนผสมทางเคมีเป็นร้อยละ 5 ของ B โดยโลหะผสมทั้งสองชนิดอุณหภูมิ Liquidus เป็น 538 องศาเซลเซียส และ 568 องศาเซลเซียส ตามลำดับแล้ว และสมมุติว่าที่ผิวสัมผัสมวลโลหะแข็ง

- น้ำโลหะ มีอุณหภูมิเป็น 532 องศาเซลเซียสจะเห็นได้ว่าเกิดความต่างอุณหภูมิจริงในน้ำโลหะ เมื่อ อุณหภูมิจริงของโลหะผสมชนิด B ร้อยละ 10 อุณหภูมิเป็น 538 องศาเซลเซียส จะเป็นได้ว่าอุณหภูมิที่ผิวสัมผัสมวลโลหะแข็ง

- น้ำโลหะ จะต่ำกว่าอุณหภูมิแข็งตัวถึง 6 องศาเซลเซียส เช่นเดียวกันในขณะที่อุณหภูมิ ที่จุด X ของโลหะผสมชนิด B ร้อยละ 5 อุณหภูมิ B เป็น 566 องศาเซลเซียส จะได้ว่ามีความต่างอุณหภูมิกับโลหะผสมร้อยละ 10 ของ B มากถึง 28 องศาเซลเซียส จะเห็นได้ว่าพลังงานทั้งหมดในน้ำโลหะชนิด B ร้อยละ 5 อุณหภูมิ B บริเวณ Solidification Front ที่จุด X นี้จะมีค่ามากกว่าพลังงานทั้งหมดในน้ำโลหะชนิดร้อยละ 10 ของ B และทำให้เกิดแรงขับที่จะผลักดันให้เกิดการแข็งตัวของน้ำโลหะผลกระแทบที่เกิดจากภาวะ Undercooling ที่เกิดขึ้นจริงต่อการเริ่มการแข็งตัวน้ำโลหะ สามารถแยกออกได้สามประการ โดยผลกระแทบดังกล่าวจะขึ้นกับ Degree of Undercooling ดังนี้ เมื่อเกิดภาวะ Undercooling ตัวยาระดับอุณหภูมิที่ต่ำกว่าอุณหภูมิ Liquidus เพียงเล็กน้อย ผิวสัมผัสมวลโลหะแข็งน้ำโลหะ หรือ Solidification Front บางส่วนที่พุ่ย芽ยื่นสู่บริเวณที่เกิด Undercooling และจะโต (Growth) มากกว่าที่จะขยายยาวในระบบด้านข้างทั้งนี้เนื่องจากภาวะ Undercooling ที่เกิดขึ้นจะทำให้เกิดแรงขับผลักดันอะตอมของโลหะหลักแยกตัวออกมาเกาะทับช้อนกัน และแข็งพื้นอันกับผลักดันอะตอมของธาตุผสมเดิมให้หลบไปอยู่ด้านข้างที่มีระดับอุณหภูมิสูงกว่า ทำให้บริเวณดังกล่าวมีปริมาณอะตอมของธาตุผสมเติมมากกว่าปริมาณเฉลี่ยของน้ำโลหะ เป็นผลทำให้บริเวณดังกล่าวมีอุณหภูมิ Solidus ลดต่ำลงไปจาก เดิมอีก (ดังรูปที่ 2.8 ก) ทำให้เกرنที่จะเกิดขึ้นในบริเวณนี้มีลักษณะคล้ายหวีเมื่อเริ่มต้นกระบวนการแข็งตัวของน้ำโลหะ

- เมื่อเกิดภาวะ Undercooling ด้วยระดับอุณหภูมิที่ต่ำกว่าอุณหภูมิ Liquidus มากขึ้นภาวะดังกล่าวจะทำให้น้ำโลหะในบริเวณที่เกิดภาวะ Undercooling มีการถ่ายเทความร้อนออกจากโลหะเร็วขึ้น ซึ่งการถ่ายความร้อนในทิศทางขานกับโครงแบบหล่อจะมีอัตราเพิ่มขึ้น ทำให้นอกจากการพอกโดยขั้นของมวลโลหะแข็งจะมีทิศทางพุ่งยาวยืนสูงบริเวณเกิด Undercooling และจะมีการพอกขึ้นในทิศทางด้านข้างได้ด้วยในบริเวณ ทำให้มวลโลหะแข็งที่เกิดขึ้นในกระบวนการแข็งตัวมีลักษณะคล้ายกับไม้ที่แตกแขนงออกจากกันหลัก หรือกิ่งสน เรียกว่า Dendritic Structure (ดูรูปที่ 2.8 ข)

- เมื่อเกิดภาวะ Undercooling ด้วยระดับอุณหภูมิที่ต่ำกว่าอุณหภูมิ Liquidus มาก ภาวะที่เกิดขึ้นในกรณีจะมีผลทำให้เกิดความต่างอุณหภูมิที่มีโอกาสจะทำให้ $T_{Liquidus} = T_{Actual}$ มาก โดยความต่างอุณหภูมิดังกล่าวจะมีค่าสูงที่จุด y ในรูปที่ 2.9 ภาวะ Undercooling ที่เกิดขึ้นดังกล่าวจะทำให้นิวเคลียสที่เกิดขึ้นแยกหลุดออกจากกันอย่างอิสระ และกระฉัดกระจายอย่างไม่มีระเบียบไปทั่วทั้งบริเวณที่เกิด Undercooling การพองโดยขั้นของนิวเคลียสเหล่านี้จะเกิดขึ้นอย่างอิสระทุกมิติ หรือทุกทิศทาง ดังนั้นหลังการแข็งตัวของน้ำโลหะที่เกิดภาวะมี Degree of Undercooling สูงมากขึ้น มวลของโลหะจะมีเกรนเล็กและเยื่อดขนาดเท่าๆ กัน (Fined Equiaxed Grains) ซึ่งเกรนลักษณะดังกล่าวมักจะพบในบริเวณใจกลางแท่งโลหะที่เป็นโลหะผสมภาวะที่จะทำให้เกิดเกรนในลักษณะดังกล่าวได้ง่ายที่สุดจะแสดงไว้ในรูปที่ 2.8 อย่างไรก็ตาม



รูปที่ 2.10 ภาวะ Undercooling ที่เกิดมากที่สุด
ที่มา : วิหาร (2548)

ทั้งนี้เพราะภาวะ Undercooling ที่มีค่ามากแนวโน้มที่น้ำโลหะจะแข็งตัวในแบบที่เป็น Dendrite Structure หากขึ้น นอกเหนือนี้ยังจะทำให้นิวเคลียสเริ่มต้นการแข็งตัวน้ำโลหะแยกตัวออกจากน้ำโลหะก่อนหน้าที่ Solidification Fronts จะพุ่งยาวเข้าไปถึงโดยนิวเคลียสเหล่านี้จะไม่สามารถเกาะพอก Solidification Fronts ได้ทันแต่นิวเคลียสเหล่านี้จะถูกตะบومที่แยกจากน้ำโลหะเกาะพอกให้โดยขั้นตอน เป็นผลทำให้น้ำโลหะจากส่วนอื่นๆ สามารถไหลป้อนเข้าสู่ช่องว่างที่หดตัวลงได้ง่ายขึ้น หรืออาจกล่าวได้ว่าการทำให้น้ำโลหะเกิดภาวะความต่างอุณหภูมิในน้ำโลหะได้มาก

ขึ้น เท่าไรจะทำให้เราสามารถแก้ปัญหาของการไฟล์ป้อนเติมของน้ำโลหะเข้าสู่ไฟเบอร์แบบหล่อได้ง่ายมากขึ้นเท่านั้น ตัวอย่างเช่น การใช้ Chiller หรือวัสดุถ่ายเทความร้อนผ่านในทรายหล่อจะช่วยทำให้การแข็งตัวของน้ำโลหะเกิดได้เร็วขึ้น เช่น การใช้แบบโลหะเป็นแบบหล่อถาวรในงานหล่อ

2.8 การทดสอบความแข็ง (Hardness Testing)

หลักการเกี่ยวกับการทดสอบความแข็งจะเกี่ยวข้องกับการวัดความด้านทานต่อการเกิดรอยกดซึ่งใช้เป็นหลักการพื้นฐานของเครื่องมือวัดความแข็งแบบต่างๆ หัวกดมีหัวที่ เป็นแบบหัวบล หรือแบบกรวยปลายมน หรือปรามิต ซึ่งปกติทำจากเหล็กกล้าแข็ง หรือเพชร และใช้ทดสอบภายใต้สภาวะน้ำหนักคงที่โดยการวัดน้ำหนักที่จะทำให้เกิดรอย กดตามที่กำหนด หรือวัตรอยกดที่เกิดขึ้นภายใต้แรงกระทำนั้น โดยเราสามารถเลือกใช้การทดสอบตามมาตรฐานสากล ตัวอย่างเช่น ตามมาตรฐานของ American Society Testing and Materials (ASTM) E10-7a (Standard Test Method for Brinell Hardness of Metallic Materials) สำหรับการทดสอบความแข็งแบบบรินเนลล์ หรือ ASTM E18-08 (Standard Test Method for Rockwell Hardness of Metallic Materials) สำหรับการทดสอบแบบเบรคเวลล์ หรือ ASTM E92-41 (Standard Test Method for Vickers Hardness of Metallic Materials) สำหรับการทดสอบแบบวิกเกอร์ส โดยเลือกใช้ตามความเหมาะสมของลักษณะชิ้นงานและวัสดุที่นำมาทดสอบ และลักษณะข้อมูลของค่าความแข็งที่ต้องการทราบ เพื่อนำมาทำการวิเคราะห์ ซึ่งในการทดลองนี้เลือกใช้การทดสอบแบบเบรคเวลล์

การทดสอบแบบเบรคเวลล์

การทดสอบแบบเบรคเวลล์ จะทำการทดสอบด้วยเครื่องทดสอบที่ออกแบบมาเป็นพิเศษโดยการใส่น้ำหนักที่กระทำผ่านระบบตุ้มน้ำหนักกับคาน หัวกดอาจเป็นลูกบลเหล็กกล้าแข็ง 1/16 นิ้ว 1/8 นิ้ว หรือหัวกดเพชรรูปกรวยมุม 120 องศา เรียกว่า Brale ค่าความแข็งที่แสดงบนหน้าปัดเครื่องเป็นส่วนกลับของค่าความลีกรอยกด ส่วนการแสดงหน่วยค่าความแข็งจะขึ้นอยู่กับค่าน้ำหนัก ชนิดและขนาดของหัวกดที่ใช้ในการทดสอบยกตัวอย่างเช่นถ้าเลือกใช้น้ำหนักกด 100 กิโลกรัม และใช้หัวกดบลเหล็กกล้าแข็งขนาด 1/16 นิ้ว ต้องอ่านค่าความแข็งจากหน้าปัดเครื่องในสเกล B และถ้าใช้หัวกดเพชรกับน้ำหนักกด 150 กิโลกรัม ต้องอ่านค่าความแข็งในสเกล C เป็นต้น

ในการทดสอบเริ่มแรกจะใช้น้ำหนักกดเบื้องต้น 10 กิโลกรัม ค้างไว้ซึ่งจะทำให้เกิดรอยกดเบื้องต้นบนชิ้นทดสอบ โดยสังเกตเข็มบนหน้าปัดเครื่องที่แสดงน้ำหนักกดเบื้องต้นจะเข้าสู่บริเวณที่กำหนด จากนั้นให้ใส่น้ำหนักกดที่แท้จริง โดยปกติถ้าใช้หัวกดบลน้ำหนักกดแท้จริงจะอยู่ในช่วงประมาณ 60 ถึง 100 กิโลกรัม และถ้าใช้หัวกดเพชรจะใช้น้ำหนักกดแท้จริงได้ถึง 150 กิโลกรัม ส่วนหัวกดบลจะใช้กับวัสดุที่อ่อนกว่า หลังจากใส่น้ำหนักกดแท้จริงและน้ำหนักกดออก ให้อ่านค่าความแข็งจากหน้าปัดเครื่องโดยที่น้ำหนักกดเบื้องต้นยังค้างอยู่

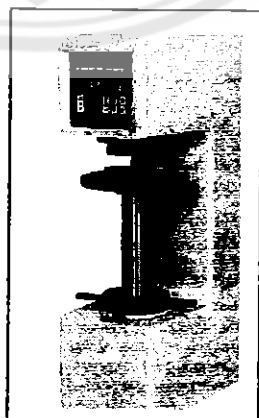
ในการทดสอบความแข็งรีคเวลล์ ค่าความแข็งที่ได้สามารถมีได้หลายค่า ทั้งนี้ขึ้นอยู่กับชนิดหัวกด และน้ำหนักกดที่ใช้ นอกจากนี้หน้าปัดเครื่องยังมีสองชุดคือสีแดงกับสีดำ ซึ่งรวมกันแล้วทำให้การ

ทดสอบแบบเบร็อกเวลล์ มีหน่วยต่างกันประมาณ 30 หน่วย บนหน้าปัดจะออกแบบเป็นสเกล B และ C โดยสองสเกลนี้เป็นสเกลชุดแรกที่ผ่านรับรองมาตรฐานและนิยมใช้มากที่สุด ส่วนหน้าปัดสีแดงใช้อ่านค่าความแข็งสำหรับสเกลที่ใช้หัวกดเป็นหัวบล็อก และหน้าปัดสีดำใช้อ่านค่าความแข็งที่ได้จากการทดสอบด้วยหัวกดเพชร

สเกลร็อกเวลล์ อยู่ในรูปของเศษส่วน 100 และแต่ละส่วน หรือแต่ละค่าความแข็งมีค่าความลึกรอยกดเท่ากับ 0.002 มิลลิเมตร ถ้าอ่านค่าความแข็งจะได้เป็น ตัวอย่างเช่น 53 HRB กับ 56 HRB หมายถึงทั้งสองมีรอยกดต่างกันเท่ากับ 3×0.002 มิลลิเมตร นั่นคือ 0.006 มิลลิเมตร แต่เนื่องจากสเกลเป็นแบบกลับส่วนดังนั้นวัสดุที่อ่านค่าความแข็งได้สูงกว่าจะเป็นวัสดุที่แข็งกว่า

สเกล B ใช้ในการทดสอบวัสดุความแข็งปานกลางในช่วง 0 – 100 HRB ถ้าใช้หัวกดบล็อกวัดค่าความแข็งของวัสดุเกิน 100 HRB อาจทำให้หัวบล็อกบุบตัวทำให้ได้ค่าความแข็งที่คลาดเคลื่อนได้ ส่วนสเกล C มักใช้ทดสอบกับวัสดุที่มีค่าความแข็งมากกว่า 100 HRB ซึ่งปกติแล้วเหล็กกล้าจะมีค่าความแข็งสูงสุดประมาณ 70 HRC และการวัดค่าความแข็งด้วยสเกล C จะอยู่ที่ประมาณ 20 HRC ขึ้นไป เนื่องจากการทดสอบความแข็งต่ำกว่า 20 HRC ได้รอยกดที่เล็กมากทำให้ค่าความแข็งที่ได้ไม่น่าเชื่อถือ ในการทดสอบความแข็งต่ำกว่า 20 HRC ได้รอยกดที่เล็กมากทำให้ค่าความแข็งที่ได้ไม่น่าเชื่อถือ ในการทดสอบให้เลือกใช้สเกลที่ใช้หัวกดบล็อกที่มีขนาดเล็กที่สุดเท่าที่จะเป็นไปได้ ทั้งนี้เพื่อระความว่องไวในการตรวจวัดจะลดลงตามขนาดรอยกดที่เพิ่มขึ้น

ขั้นตอนทดสอบความมีลักษณะแบบเรียบและปราศจากสนิม ออกไซด์ รู และควรเป็นวัสดุที่ไม่ผ่านการขึ้นรูปทั้งด้านบนและล่าง ส่วนความหนาของขั้นทดสอบควรจะหนาพอที่จะไม่เกิดการบิดหรือเกิดการเสียรูปของแท่นรองขั้นทดสอบภายใต้การทดสอบ เนื่องจากการเสียรูปดังกล่าวอาจทำให้การวัดค่าความแข็งคลาดเคลื่อนได้ ในการทดสอบควรวัดกับวัสดุความหนาเดียวเสมอ และเพื่อหลีกเลี่ยงความคลาดเคลื่อนที่อาจเกิดขึ้นจากสิ่งเจือปน รูอากาศเล็กๆ และความบกพร่องที่ผิวน้ำ ควรทำการทดสอบอย่างน้อยสามจุดแล้วนำค่าที่ได้มาหาค่าเฉลี่ย



รูปที่ 2.11 เครื่องทดสอบความแข็งแบบเบร็อกเวลล์

ที่มา : ชาลิต (2542)

การทดสอบความแข็งวิธีนี้มีหลักการทดสอบที่ต้องคำนึงถึงดังต่อไปนี้ (ชาลิต, 2542)

- ควรตรวจสอบความถูกต้องของเครื่องด้วยแท่งทดสอบ (Test Block) ทุกครั้งก่อนการทำงาน
- ขั้นงานที่จะทำการทดสอบควรทำความสะอาด และขนาดกันทั้งสองด้าน
- รอยกดบนผิวทดสอบควรห่างกันอย่างน้อย 3 มิลลิเมตร
- ควรวัดค่าความแข็งอย่างน้อย 3 จุด แล้วนำค่าที่ได้ไปหาค่าเฉลี่ย จะได้เป็นค่าความแข็งที่ถูกต้อง
 - ค่าความแข็งที่อ่านได้บนสเกลเป็นค่าที่นำไปใช้ได้เลยจะมีความรวดเร็วในการทดสอบ
 - ขั้นงานที่จะทำการทดสอบควรมีความหนาไม่น้อยกว่า 10 เท่าของรอยกดบนผิวทดสอบ

2.9 การตรวจสอบโครงสร้างทางจุลภาค

โครงสร้างทางจุลภาค (Microstructure) คือโครงสร้างของโลหะที่กำลังขยาย 200 เท่าการตรวจสอบโครงสร้างทางจุลภาคของโลหะเป็นการศึกษาถึง รูปร่าง ขนาด การจัดเรียงตัวของผลึก และลักษณะเกรน ในการศึกษาโครงสร้างทางจุลภาคของโลหะนั้น เพื่อนำไปใช้ในการเลือกวัสดุมาใช้งาน ให้เหมาะสมกับความต้องการ เพราะวัสดุแต่ละชนิดจะมีสมบัติที่แตกต่างกัน (ชาลิต, 2553)

การที่จะทำให้วัสดุต่างๆ สามารถนำกลับมาใช้งานได้ต้องตามความต้องการได้นั้นเราต้องมาดูที่กระบวนการผลิตวัสดุชนิดนั้น และทำการเปลี่ยนแปลงโครงสร้างทางจุลภาคของวัสดุ เนื่องจาก โครงสร้างที่สามารถเปลี่ยนแปลงได้ คือโครงสร้างจุลภาคเท่านั้น เนื่องจากโลหะเป็นวัสดุที่บีบ การศึกษารูปร่าง ขนาด การจัดเรียงตัวของผลึก และลักษณะเกรนนั้นจึงต้องตัดชิ้นงานตามแนวที่การ แล้วนำไปขัด กัดกรด โดยกรดจะกัดตามขอบเกรนรุนแรงกว่าส่วนอื่นของผลึก เพราะขอบเกรนมีเป็น ส่วนที่มีข้อบกพร่องมากที่สุด หลังจากการกัดกรดแล้วขอบเกรนจะถูกกัดเป็นร่อง เมื่อตรวจสอบด้วย กล้องจุลทรรศน์ การสะท้อนของลำแสงที่ตกลงบนเกรน และขอบเกรนหันเหออกทิศทางเดิม

2.9.1 การขัดผิวของชิ้นงานที่ตรวจสอบ

ควรขัดด้วยกระดาษทรายที่ทำจากผงซิลิโคนคาร์บิด ตั้งแต่เบอร์ 220 320 400 และ ขัดจนถึงเบอร์ 1200 ตามลำดับ ใน การขัดควรวางกระดาษทรายลงบนพื้นหน้าเรียบแล้วขัดผิวของ ชิ้นงานที่ต้องตรวจสอบลงบนกระดาษทรายนั้น ในขณะขัดนั้นจะต้องเปิดน้ำอุ่นตลอดเวลา เพื่อให้น้ำ ชำระสิ่งสกปรกออกให้หมด และเมื่อต้องการเปลี่ยนกระดาษทรายแผ่นต่อไปควรขัดผิวของชิ้นงานที่ ตรวจสอบไปอีกแนวทางหนึ่งสลับกันเป็นตารางกับแนวเดิม ทำเช่นนี้จะช่วยลดการติดกระดาษทรายแผ่นสุดท้าย

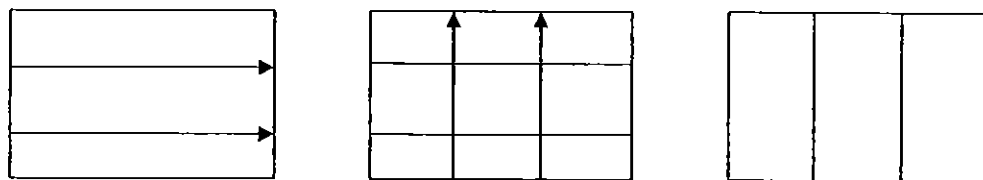
15515403

2/5.

ณ 257/1

2553

ทิศทางการขัดครั้งที่ 1 ทิศทางการขัดครั้งที่ 2 เมื่อขัดเสร็จรอยขัดครั้งที่ 1 จะหายไป



รูปที่ 2.12 ลักษณะแนวทางการขัดผิวของชิ้นงานที่ทดสอบสลับเป็นตาราง

ที่มา : ชาลิต (2542)

2.9.2 การขัดผิวของชิ้นงานด้วยผงขัด

การขัดผิวในขั้นตอนนี้ เป็นการขัดผิwmั่นของชิ้นงานที่ตรวจสอบด้วยผงขัดที่ทำจากผงอะลูมีนา (Alumina) และแมกนีเซียมออกไซด์ (Magnesium Oxide) โดยผงขัดเหล่านี้จะมีขนาดตั้งแต่ 1 และ 0.3 ไมครอน การขัดผงขัดนี้ จะต้องขัดบนฐานหมุนที่ห่อหุ้มด้วยผ้าสักหลาด โดยนำผงขัดผสมกับน้ำเทลงผ้าสักหลาดแล้วขัดผิวจนเป็นมัน

2.9.3 กัดผิวชิ้นงานด้วยสารละลาย

ชิ้นงานที่ตรวจสอบที่ถูกขัดจนเป็นมันแล้วนั้นจะต้องล้างด้วยแอลกอฮอล์ จากนั้นถูกนำไปกัดด้วยสารละลาย ซึ่งการใช้สารละลายนี้ต้องขึ้นอยู่กับชนิดของโลหะที่ต้องการตรวจสอบ สารละลายเหล่านี้จะถูกนำมาใช้ในการตรวจสอบโครงสร้างทางจุลภาคของโลหะชนิดต่างๆ ซึ่งแยกออกเป็น 2 ประเภท คือ สารละลายที่การตรวจสอบโครงสร้างของเหล็ก และสารละลายที่การตรวจสอบโครงสร้างของโลหะนอกกลุ่มเหล็กซึ่งในการทดลองนี้เราใช้อะลูมิเนียมผสมในการตรวจสอบสารละลายที่การตรวจสอบโครงสร้างของโลหะนอกกลุ่มเหล็ก ได้จากตารางที่ 2.1

ตารางที่ 2.1 รายละเอียดของน้ำยา กัดชิ้นงานที่ตรวจสอบที่เป็นโลหะนอกกลุ่มเหล็ก

นำยา กัดผิวตรวจสอบ	ส่วนผสม	โลหะที่ตรวจสอบ	การใช้งาน
กรดไฮdroฟลูออริก (Hydrofluoric Acid)	กรดไฮdroฟลูออริก $\frac{1}{2}$ - 2 มิลลิลิตร ผสมน้ำ 100 มิลลิลิตร	อะลูมิเนียม ผสม	จุ่ม หรือเช็ดนาน 15 - 45 วินาที
โซเดียมไฮดรอกไซด์ (Sodium Hydroxide)	โซเดียมไฮดรอกไซด์ (NaOH) 1 มิลลิลิตร ผสมน้ำ 100 มิลลิลิตร	อะลูมิเนียม ผสม	เช็ดด้วยสำลีนาน 10 - 15 วินาที

ที่มา : ชาลิต (2542)

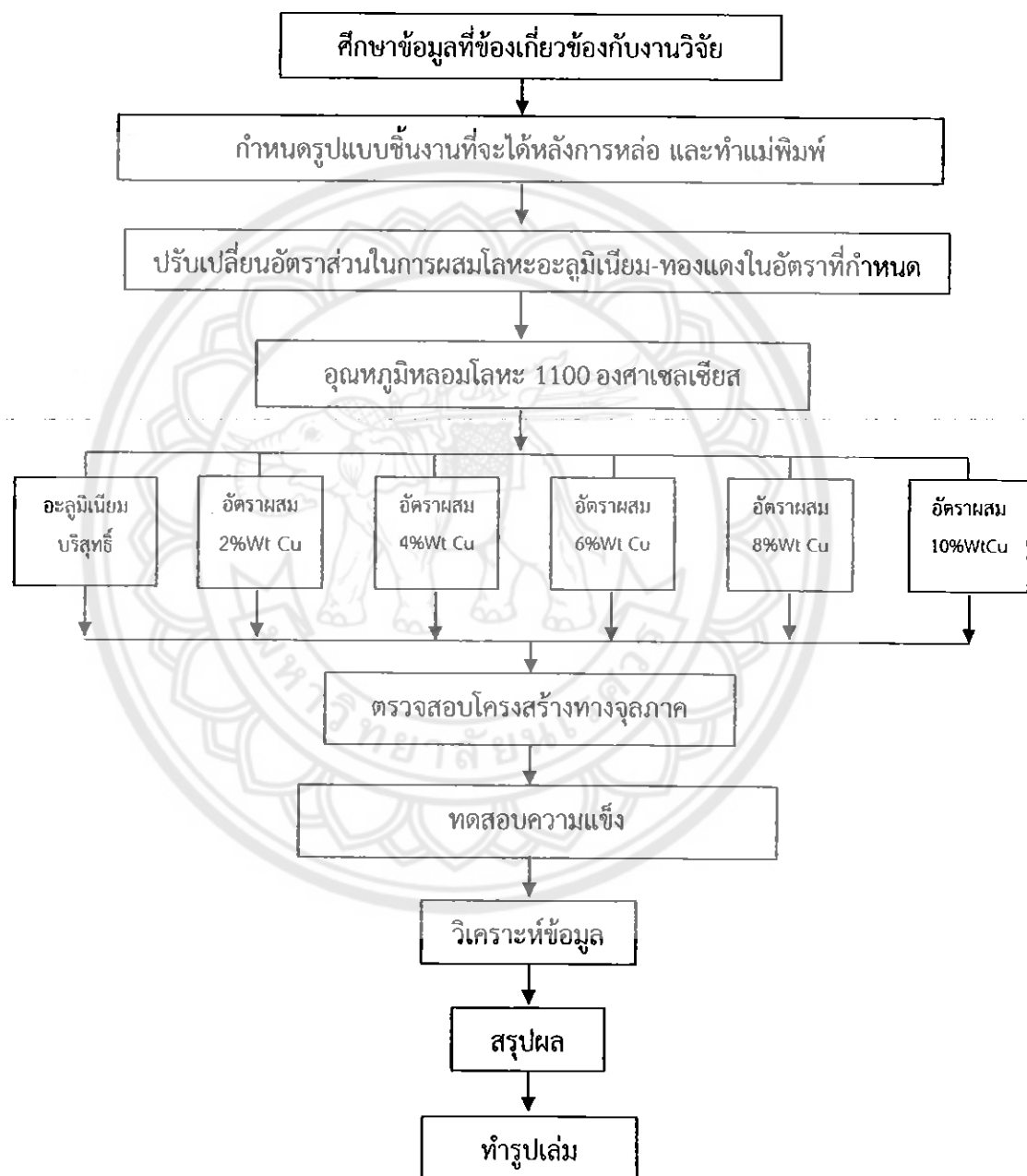
2.10 งานวิจัยที่เกี่ยวข้อง

นายเจนณรงค์ จันทร์ และนาย สุรพล ปัญญาแก้ว (2544) ทำการศึกษาการแตกร้าวในขณะร้อนของโลหะผสมอะลูมิเนียม-ทองแดง โดยใช้โลหะทองแดงผสมร้อยละ 1-7 (ร้อยละ 1-7 โดยน้ำหนักทองแดง) เติมผสมในอะลูมิเนียมที่ทำการหลอมด้วยเตาอินดักชัน ที่อุณหภูมิ 900 องศาเซลเซียส และทำการตรวจสอบสวนผสมทางเคมีด้วยเครื่อง Emission Spectrometer นำอินก็อตที่ได้ไปหล่อ เพื่อทดสอบสมบัติด้านการต้านทานการแตกร้าวในขณะร้อน โดยใช้แบบหล่อทราย CO₂ ในการทดลองใช้อุณหภูมิเท่โลหะเหลว 720 องศาเซลเซียส ปกคลุมผิวน้ำโลหะเหลวด้วยฟลักชนิด Coveral-11 โครงสร้างมหภาคที่ได้จากการนำชิ้นงานทดสอบไปกัดด้วยสารละลาย Tucker's ผลการทดลองพบว่า ชิ้นงานที่ทำการเหลอก่อนจะมีการแตกร้าวที่บริเวณที่แข็งตัวสุดท้าย และเป็นที่สะสมของความเค็ม และความเครียด ซึ่งเกิดจากการหดตัวของโลหะผสม โดยพบว่าความพยายามของการแตกร้าวจะเพิ่มขึ้นตามปริมาณของทองแดงที่ผสม กล่าวคือถ้าส่วนผสมของทองแดงมากขึ้นก็จะทำให้เกิดรอยแตกร้าวมากขึ้น และเป็นการแตกร้าวที่ขอบเกรน

บทที่ 3

วิธีการดำเนินโครงการ

โดยบทนี้จะกล่าวถึงขั้นตอนการดำเนินโครงการ เรื่องการศึกษาโครงสร้างของโลหะผสมอะลูมิเนียม-ทองแดง ที่มีผลต่อโครงสร้างทางจุลภาค และสมบัติทางด้านความแข็ง



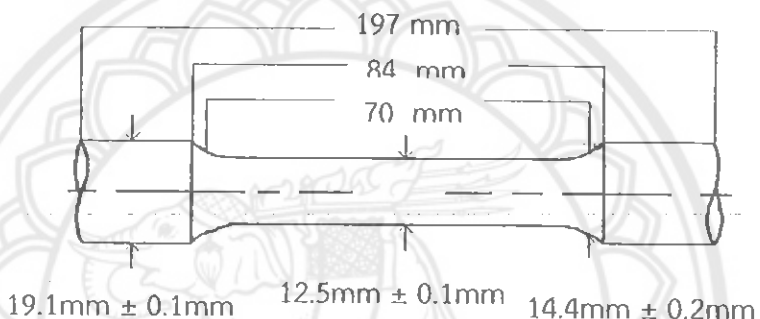
รูปที่ 3.1 ขั้นตอนการดำเนินงานวิจัย

3.1 ศึกษาข้อมูล

ศึกษาข้อมูลของโลหะอะลูมิเนียม และข้อมูลของโลหะทองแดง ข้อมูลอะลูมิเนียมผสมทองแดง กรรมวิธีการหล่อโลหะผสมอะลูมิเนียม-ทองแดง การสร้างแบบหล่อ เลือกทดสอบความแข็งที่เหมาะสมกับการทดลอง และออกแบบการตรวจสอบโครงสร้างทางจุลภาค ให้เหมาะสมกับการทดลอง

3.2 วิธีการออกแบบ และการทำแม่พิมพ์

ขั้นตอนในการออกแบบเป็นการศึกษาจากข้อมูลโดยอ้างอิงจาก ASTM B 108 ซึ่งเป็นมาตรฐานสากลที่ใช้ในการทำการทดลอง ในการศึกษาจาก ASTM B 108 จึงเลือกใช้โลหะในการทำแม่พิมพ์ซึ่งเหมาะสมกับการทดลองนี้



รูปที่ 3.2 รูปชิ้นงานที่จะได้จากการหล่อตามมาตรฐาน ASTM B 108

3.3 การเปลี่ยนปัจจัยในการทดลอง

ในการทดลองนี้ผู้ทำการทดลองสนใจทางด้านสมบัติทางความแข็งที่ได้จากการผสมโลหะสองชนิด คือ อะลูมิเนียม และทองแดง ซึ่งจะมีอะลูมิเนียมเป็นโลหะหลักจากการศึกษาสมบัติของอะลูมิเนียมนั้นจะเพิ่มค่าความแข็งได้โดยการเติมธาตุอื่น ซึ่งในการทดลองนี้ใช้ทองแดงเป็นธาตุรองในการเพิ่มความแข็งของอะลูมิเนียมผู้ทดลองจึงออกแบบการทดลองโดยการเพิ่มอัตราส่วนผสม ดังตารางที่ 3.1

**ตารางที่ 3.1 ขั้นงานในการศึกษาอัตราส่วนผสมของ อะลูมิเนียม-ทองแดง ที่มีผลต่อ
โครงสร้างทางจุลภาค และสมบัติทางด้านความแข็ง**

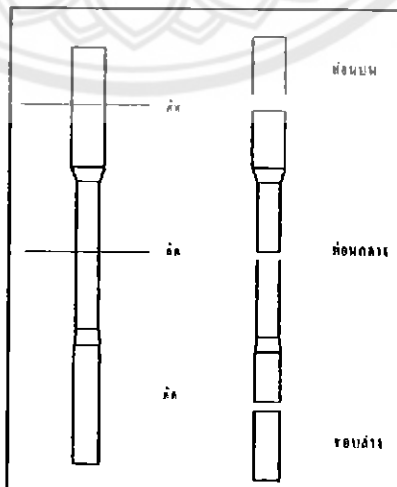
ขั้นงาน	อัตราส่วนผสม	โครงสร้างทาง จุลภาค	ค่าความแข็ง (HRB)
1	อะลูมิเนียมบริสุทธิ์		
2	อัตราผสม 2%Wt Cu		
3	อัตราผสม 4%Wt Cu		
4	อัตราผสม 6%Wt Cu		
5	อัตราผสม 8%Wt Cu		
6	อัตราผสม 10%WtCu		

3.4 การตรวจสอบโครงสร้างทางจุลภาค

เป็นการศึกษาโครงสร้างของโลหะ โดยส่องดูโครงสร้างด้วยกล้องจุลทรรศน์แบบแสง

3.4.1 ตัดชิ้นงาน

โดยการนำชิ้นงานมาตัด โดยเลือก 3 ส่วนของชิ้นงาน ตัด 3 ตำแหน่งของแต่ละอัตราส่วนผสม โดยตัดห่างจากด้านบน 2.5 เซนติเมตร ห่างจากด้านล่าง 2.5 เซนติเมตร และตัดที่จุดกึ่งกลาง



รูปที่ 3.3 รูปชิ้นงานที่นำชิ้นงานมาตัด โดยเลือก 3 ส่วน

3.4.2 ขัดหมาย

เริ่มต้นจากการขัดด้วยกระดาษทรายเบอร์ 360, 500, 600, 800, 1,000 และ 1,200 ตามลำดับ

3.4.3 ขัดละเอียด

จากนั้นขัดละเอียดบนจานหมุนหุ้มด้วยกระดาษทรายเบอร์ 2 ครั้ง จนผิวทดสอบไม่มีรอยขีด ครั้งที่ 1 ใช้ผงอะลูมินาขนาด 1 ไมครอน ครั้งที่ 2 ใช้ผงอะลูมินาขนาด 0.3 ไมครอน

3.4.4 ตรวจสอบผิวขัด

หลังจากขัดละเอียดแล้ว นำชิ้นงานไปล้างด้วยน้ำ เป่าให้แห้ง ตรวจสอบงานด้วยกล้องจุลทรรศน์กำลังขยาย 200 เท่า ถ้ายังเห็นรอยขีดอยู่ให้นำไปขัดละเอียดอีกครั้ง ล้างผิวชิ้นงาน และเป่าให้แห้งแล้วตรวจสอบผิวงานด้วยกล้องจุลทรรศน์กำลังขยาย 200 เท่า จนกระทั่งไม่พบรอยขีด จึงนำไปกัดด้วยสารละลายต่อไป



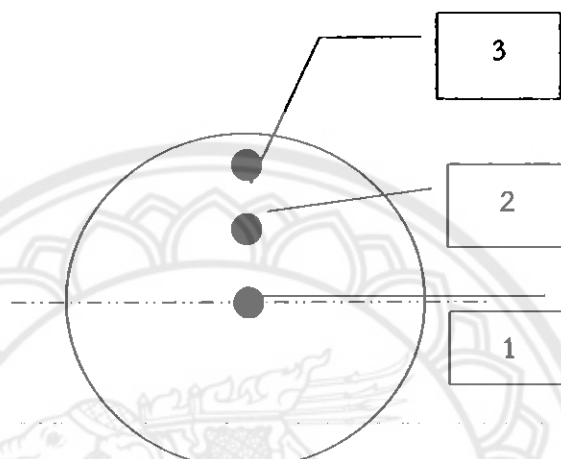
รูปที่ 3.4 ตำแหน่งการตรวจสอบโครงสร้างจุลภาค

3.4.5 กัดด้วยกรดไฮโดรฟลูออริก

จึงทำการกัดด้วยกรด โดยจุ่มผิวงานในสารละลายกรดไฮโดรฟลูออริกร้อยละ 0.5 โดยปริมาตรนาน 6 วินาที แล้วจึงตรวจสอบโครงสร้างด้วยกล้องจุลทรรศน์ และถ่ายภาพโครงสร้างทางจุลภาค

3.5 การทดสอบความแข็ง (Hardness Test)

เป็นการวัดความต้านทานต่อการเปลี่ยนแปลงรูปถาวรที่อยู่บริเวณผิวชั้นงาน โดยใช้การทดสอบความแข็งแบบร็อกเวลล์ ซึ่งสามารถอ่านค่าความแข็งได้ทันทีจากหน้าปัดการทดสอบทำได้โดยตัดชิ้นงานที่ผ่านการหล่อขึ้นรูปนำมาวัดความแข็ง โดยใช้สเกล HRB ชนิดหัวกดลูกบอลเหล็กกล้าขนาดเส้นผ่านศูนย์กลาง 1/16 นิ้ว น้ำหนักทดสอบ 187.5 kgf ระยะเวลาในการกด 30 วินาที น้ำหนัก และหัวกดนี้สัมพันธ์กับชนิดของวัสดุทดสอบ



รูปที่ 3.5 แสดงตำแหน่งการทดสอบความแข็ง

3.6 วิเคราะห์ข้อมูล

จากการทดสอบการเปลี่ยนแปลงอัตราส่วนผสม อะลูมิเนียม-ทองแดงร้อยละ 2, 4, 6, 8 และ 10 โดยน้ำหนักของทองแดง นำชิ้นงานที่ได้มาวัดค่าความแข็ง และตรวจสอบโครงสร้างทางจุลภาค วิเคราะห์ความสัมพันธ์ระหว่างอัตราส่วนผสมที่แตกต่างกัน

3.7 สรุปผล และจัดทำรูปเล่ม

ทำการสรุปผลจากค่าความแข็งที่ได้จากการทดสอบอัตราส่วนผสม อะลูมิเนียม-ทองแดงร้อยละ 2, 4, 6, 8 และ 10 โดยน้ำหนักของทองแดง และรายงานโครงสร้างทางจุลภาคที่ได้จากชิ้นงานทดสอบ โดยแสดงในการจัดทำรูปเล่ม เพื่อรายงานผลการทดลอง และสิ่งที่ได้จากการทดลอง

บทที่ 4

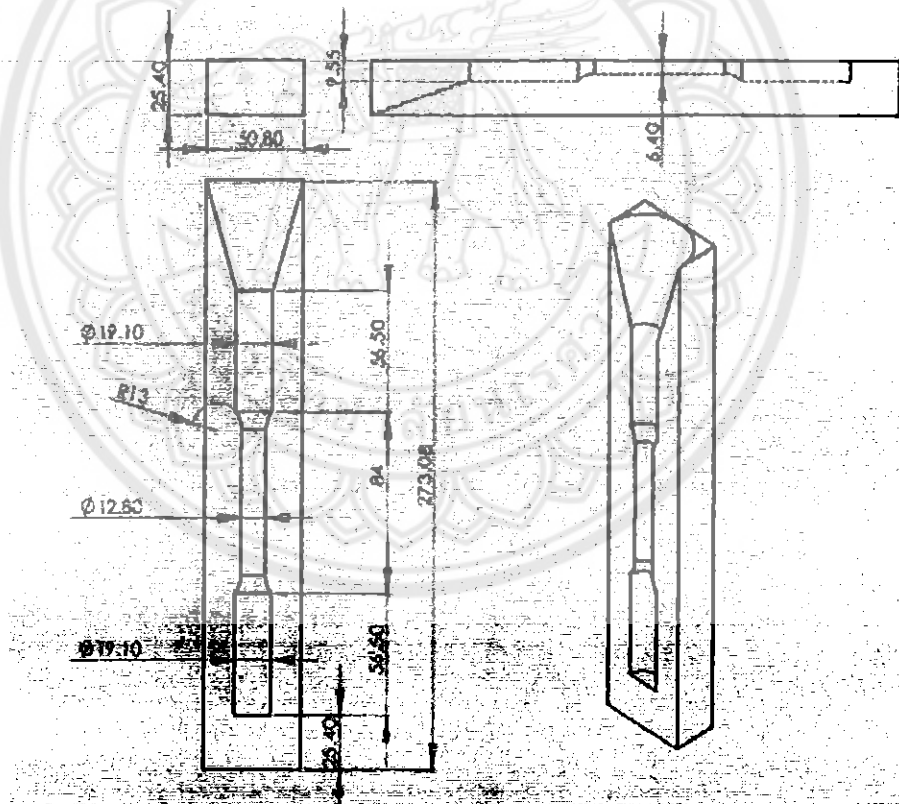
ผลการทดลอง และวิเคราะห์

4.1 ผลการศึกษา และเก็บรวบรวมข้อมูล

หลังจากศึกษาสมบัติของอลูมิเนียม และทองแดง โลหะผสมอะลูมิเนียม-ทองแดง เทคนิคการหล่อด้วยแบบหล่อโลหะหลังจากศึกษา และรวบรวมข้อมูลจึงได้ทำการหล่อโลหะผสมอะลูมิเนียม-ทองแดง ในอัตราส่วนทองแดงร้อยละ 2, 4, 6, 8 และ 10 โดยน้ำหนัก

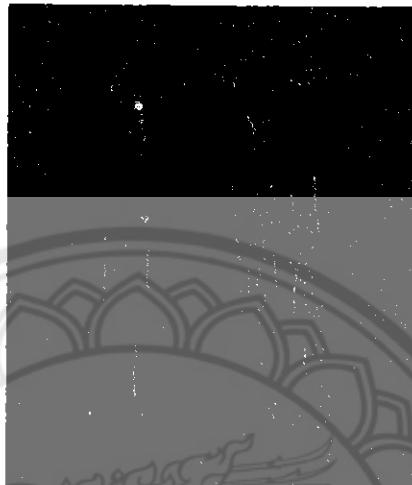
4.2 การออกแบบแม่พิมพ์ จัดทำเครื่องกวนน้ำโลหะ และแม่พิมพ์

การออกแบบแม่พิมพ์นั้นได้ใช้แบบแม่พิมพ์ตามมาตรฐานของ ASTM B 108 ซึ่งมีขนาดความยาว 273 มิลลิเมตร มีขนาดความกว้าง 50.80 มิลลิเมตร แสดงดังรูปที่ 4.1



รูปที่ 4.1 การออกแบบขนาดแม่พิมพ์ตามมาตรฐานของ ASTM B 108

หลังจากที่ได้ออกแบบเครื่องกวนน้ำโลหะ และแม่พิมพ์เสร็จแล้วทำการสร้างตามที่ได้ออกแบบไว้ โดยขั้นแรกนำเหล็กมาตัดให้ได้ตามขนาดที่ออกแบบไว้แล้ว ทำการเชื่อมฐานแกนเสายีด และแนเข้าด้วยกันจากนั้นทำแกนยึดมอเตอร์ และใบกวนน้ำโลหะจากเหล็กเด่นแบบแบน ซึ่งทันความร้อนสูงจากอะลูมิเนียมหลอมเหลวได้ประกอบมอเตอร์ และส่วนต่างๆ เช้าด้วยกัน



รูปที่ 4.2 แบบพิมพ์ตามมาตรฐานของ ASTM B 108



รูปที่ 4.3 เครื่องกวนน้ำโลหะ

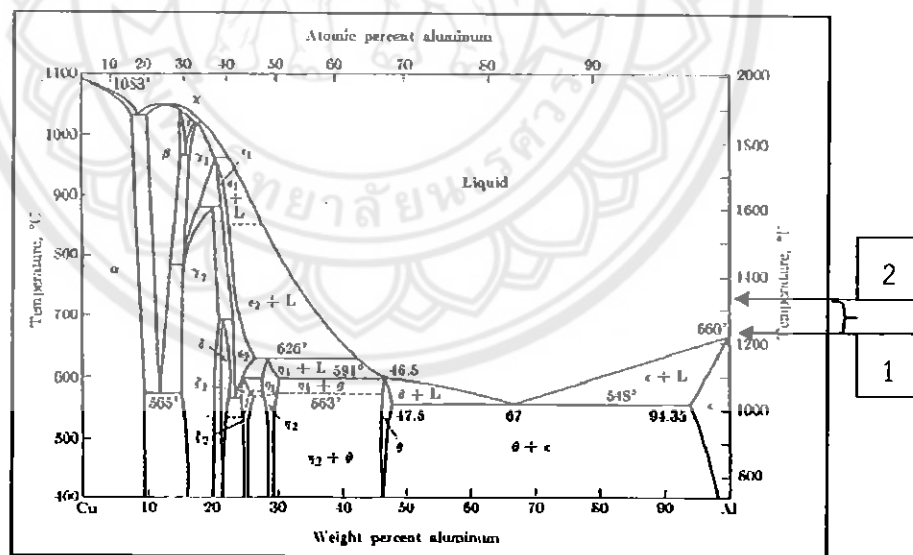
4.3 ทำการทดลองผสมโลหะอะลูมิเนียม-ทองแดง

4.3.1 ขั้นตอนการทดลอง

ในการจัดเตรียมการผสมโลหะอะลูมิเนียม-ทองแดง ทำโดยใช้หน้ากากของโลหะทั้งสอง โดยคิดเป็นร้อยละโดยน้ำหนักของแต่ละส่วนผสมที่ได้กำหนดไว้ในการจัดเตรียมการทดลอง จะต้องคำนึงถึงระยะทางความห่างระหว่างแม่พิมพ์กับเบ้าหลอมโลหะ ควรวางในตำแหน่งที่ใกล้กันให้มากที่สุด เพื่อเป็นการป้องกันการสูญเสียความร้อนในระหว่างการเคลื่อนย้ายเบ้าหลอม เพื่อเท่าน้ำโลหะ และวางแผนที่แม่พิมพ์ให้มีความมั่นคง เมื่อเท่าน้ำโลหะแล้วจะไม่อ่อนเยี้ยงหรือล้ม เพื่อความปลอดภัย และผลการทดลองที่ไม่คลาดเคลื่อน

4.3.1.1 เตรียมความพร้อมของอุปกรณ์ในการทำการหลอม และการเข้ารูปโดยทำความสะอาดผิวแม่พิมพ์ และใบภาชนะน้ำโลหะแล้วทาผงแคลเซียมคาร์บอนเพื่อช่วยลดการติดกันของโลหะที่แข็งตัวแล้วกับแม่พิมพ์ และใบภาชนะส่วนเบ้าหลอมทำความสะอาดโดยเท หรือปัดเศษผงหรือเศษโลหะที่มีในเบ้าก่อนการในส่วนผสมใหม่ทุกรั้ง

4.3.1.2 ทำการหลอมส่วนผสมโลหะอะลูมิเนียม-ทองแดง เข้าด้วยกันจนโลหะทั้งสองชนิดหลอมเหลวแล้วนำออกจากเบ้าหลอมทำการกวนน้ำโลหะจนถึงอุณหภูมิเท่ากำหนดจากการฟอกของโลหะผสมอะลูมิเนียม-ทองแดง โดยกำหนดจากจุดหลอมเหลวของร้อยละโดยน้ำหนักของส่วนผสมโลหะทั้งสองชนิด และเพิ่มอีก 50 องศาเซลเซียส เพื่อเป็นอุณหภูมิเท

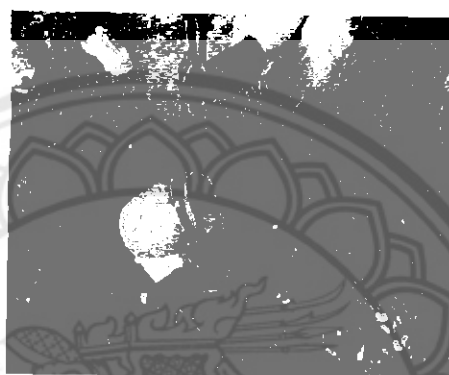


รูปที่ 4.4 แผนภูมิสมดุล อะลูมิเนียม-ทองแดง

ที่มา : มนัส (2543)

จากรูปที่ 4.4 จะเห็นได้ว่าที่เส้นหมายเลข 1 นั้นแสดงอุณหภูมิหลอมเหลวของอะลูมิเนียม บริสุทธิ์ คือ 660 องศาเซลเซียส และเส้นหมายเลข 2 แสดงถึงการบวกลบเพิ่มอีก 50 องศาเซลเซียส เพื่อเป็นอุณหภูมิเทของอะลูมิเนียมบริสุทธิ์ และทำเข็นนี้ต่อไปโดยคูร์รอยละของการผสมโลหะทั้งสองชนิด และอ่านค่าพร้อมทั้งบางอุณหภูมิ เพื่อกำหนดอุณหภูมิเทของแต่ละส่วนผสม

4.3.1.3 การวัดอุณหภูมิ ทำโดยวัดเมื่อน้ำโลหะทั้งสองชนิดละลายเป็นน้ำโลหะหลอมเหลว และวัดในขณะทำการกวนน้ำโลหะ และวัดก่อนทำการยกออกจากเตาหลอม เพื่อที่จะทำการเหลาโลหะที่มีอุณหภูมิตามที่กำหนดไว้



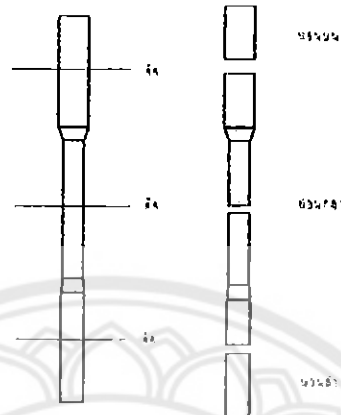
รูปที่ 4.5 เทน้ำโลหะอะลูมิเนียมทองแดงลงแม่พิมพ์

4.3.1.4 เมื่อเทน้ำโลหะอะลูมิเนียม-ทองแดง ตามอัตราส่วนผสมทองแดงร้อยละ 2,4,6,8 และ 10 โดยน้ำหนัก แล้วปล่อยให้เย็นตัวในอุณหภูมิห้องนำชิ้นงานออกจากแม่พิมพ์จะได้ชิ้นงานออกมาก และทำงานครบทามที่ได้กำหนดไว้



รูปที่ 4.6 ชิ้นงานที่ผ่านกรรมวิธีการหล่อ

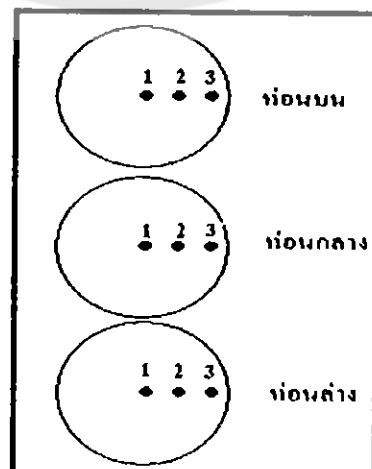
4.3.1.5 เมื่อได้ขั้นงานที่เย็บตัวแล้วจากนั้นทำการตัดส่วนเกินออก และทำการตัดแบ่งขั้นงานเป็น 3 ส่วน เพื่อทำการตรวจสอบโครงสร้างทางจุลภาค และทดสอบความแข็งของขั้นงานในแต่ละส่วนผสาน ดังรูปที่ 4.7



รูปที่ 4.7 ขั้นงานที่ตัด เพื่อทดสอบ

4.4 การตรวจสอบโครงสร้างทางจุลภาค

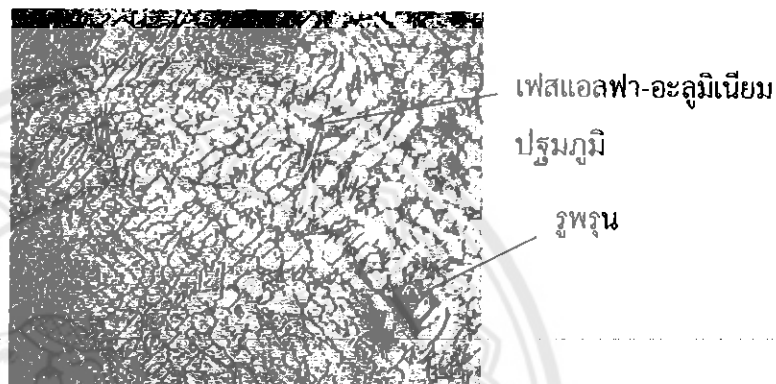
หลังจากที่ได้นำขั้นงานไปกัดด้วยกรดไฮโดรฟูอริกร้อยละ 0.5 โดยปริมาตร แล้วนำไปส่องกล้องด้วยกล้องจุลทรรศน์กำลังขยาย 200 เท่า ได้ส่องหั้งหมด 3 จุดต่อหนึ่งขั้นทดสอบ สาเหตุที่ส่อง 3 จุดต่อขั้นทดสอบ เพราะต้องการดูโครงสร้างของขั้นงานให้ทั่วถึงหั้งหมด ถ้าทำการส่องเพียงจุดเดียว แล้วนำมาเป็นตัวแทนของพื้นที่หั้งหมด อาจจะมีความคลาดเคลื่อนได้ เนื่องจากถ้าหากส่องเจาะโครงสร้างเพียงโครงสร้างเดียวไม่อาจสรุปได้ เพราะการแข็งด้วยโลหะจะประกอบด้วยโครงสร้างหลายแบบตามการเย็บตัวด้วยเหตุนี้ จึงต้องตรวจสอบตำแหน่งที่ต่างกัน 3 ตำแหน่งใน 1 ขั้นงานทดสอบ



รูปที่ 4.8 ตำแหน่งการตรวจสอบโครงสร้างทางจุลภาค

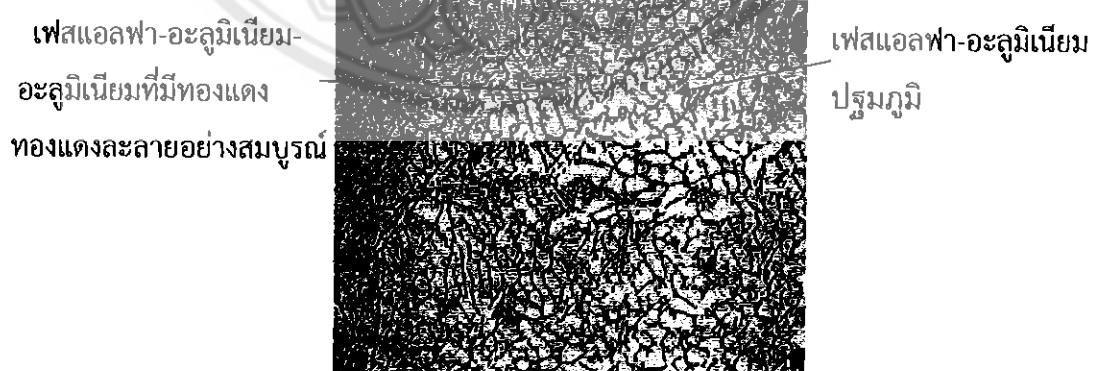
4.5 ผลการตรวจสอบโครงสร้างทางจุลภาคของโลหะอะลูมิเนียมบริสุทธิ์ และโลหะผสมอะลูมิเนียม-ทองแดงร้อยละ 2, 4, 6, 8 และ 10 โดยน้ำหนักของทองแดง การศึกษาโครงสร้างทางจุลภาค

ในการศึกษาโครงสร้างทางจุลภาคของชิ้นงานอะลูมิเนียมบริสุทธิ์ ด้วยกล้องจุลทรรศน์แบบแสง พบร่วมโครงสร้างทางจุลภาคประกอบด้วย เฟสแอลฟ่า-อะลูมิเนียมปฐมภูมิ (α -Al) เป็นสีขาวซึ่งเป็น เฟสอะลูมิเนียมปฐมภูมิ แสดงดังรูป 4.9 ลักษณะเกรนแบบเดนไดร์ทโดยมีเส้นและพับจุดกพร่อง ในชิ้นงานชนิดรูพรุน



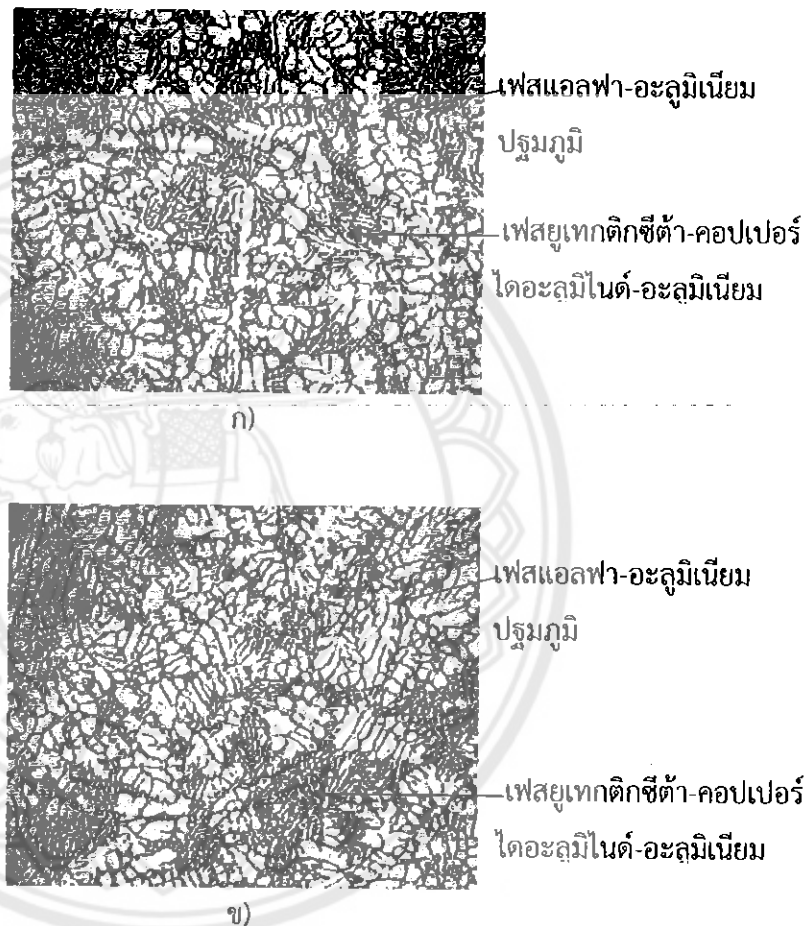
รูปที่ 4.9 โครงสร้างอะลูมิเนียมบริสุทธิ์ (Pure Aluminium)

ในการศึกษาโครงสร้างทางจุลภาคของชิ้นงานโลหะผสมอะลูมิเนียม-ทองแดงร้อยละ 2 จะพบ เฟสแอลฟ่า-อะลูมิเนียมปฐมภูมิ (α -Al) เป็นสีขาว และเฟสแอลฟ่า ที่มีทองแดงละลายได้อย่าง สมบูรณ์ อยู่ระหว่างขอบเกรนของเฟสแอลฟ่า-อะลูมิเนียม แสดงดังรูปที่ 4.10



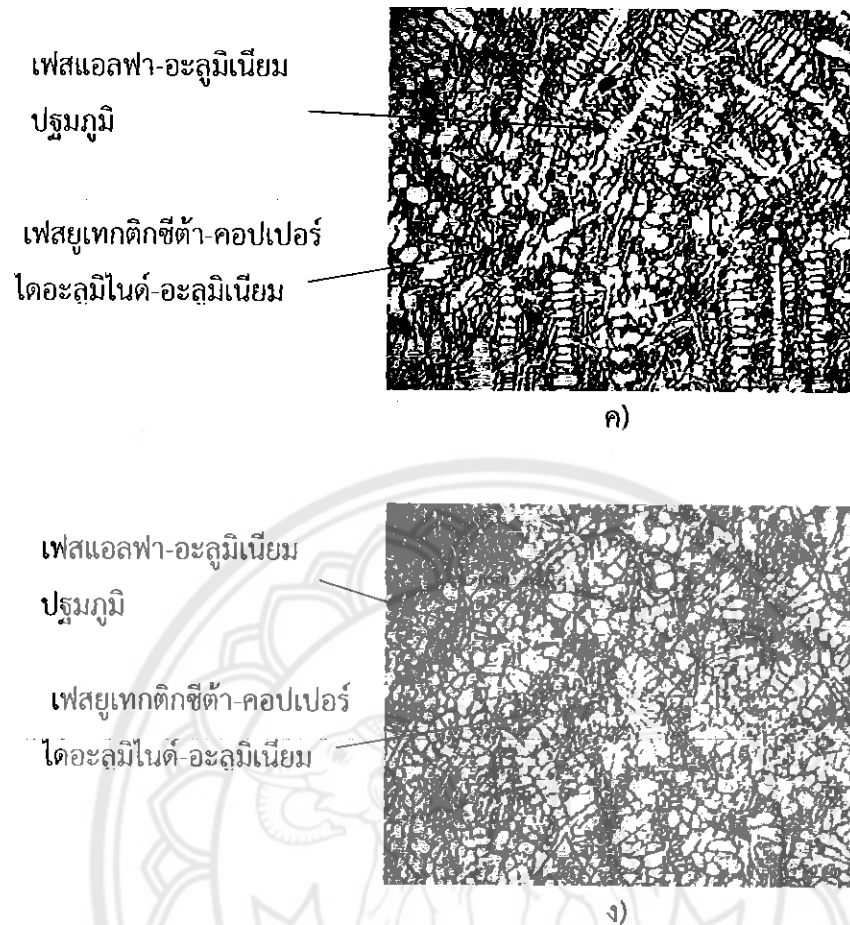
รูปที่ 4.10 โครงสร้างทางจุลภาคโลหะผสมอะลูมิเนียม-ทองแดงร้อยละ 2
โดยน้ำหนักของทองแดง

ในการศึกษาโครงสร้างทางจุลภาคของชิ้นงานโลหะผสมอะลูมิเนียม-ทองแดงร้อยละ 4, 6, 8 และ 10 โดยน้ำหนักของทองแดง จะพบเฟสแอลฟा-อะลูมิเนียมปูร์ฟูม (α-Al) เป็นสีขาว และเฟสยูเทกติกซีต้า-คอปเปอร์ไดอะลูมิโนอิด-อะลูมิเนียม จับตัวอยู่ระหว่างของเกรนเฟสแอลฟ่า-อะลูมิเนียม ปูร์ฟูม ผลมาจากการแยกตัวของอะตอมทองแดงมาจับตัวกันที่อุณหภูมิต่ำกว่า 548 องศาเซลเซียส และจะมีปริมาณเพิ่มมากขึ้นมากปริมาณการผสมทองแดงที่เพิ่มขึ้น มีลักษณะเกรนแบบเดนไบรท์ขนาดใหญ่ และจะมีขนาดเล็กลงตามการผสมทองแดงที่เพิ่มขึ้น ดังตัวอย่างรูปที่ 4.11



รูปที่ 4.11 โครงสร้างทางจุลภาคโลหะผสมอะลูมิเนียม-ทองแดง

- ก) โลหะผสมอะลูมิเนียม-ทองแดงร้อยละ 4 โดยน้ำหนักของทองแดงที่พบเฟสแอลฟ่า-อะลูมิเนียมปูร์ฟูม และเฟสยูเทกติกซีต้า-คอปเปอร์ไดอะลูมิโนอิด-อะลูมิเนียม
- ข) โลหะผสมอะลูมิเนียม-ทองแดงร้อยละ 6 โดยน้ำหนักของทองแดงที่พบเฟสแอลฟ่า-อะลูมิเนียมปูร์ฟูม และเฟสยูเทกติกซีต้า-คอปเปอร์ไดอะลูมิโนอิด-อะลูมิเนียม



รูปที่ 4.11 (ต่อ) โครงสร้างทางจุลภาคโลหะผสมอะลูมิเนียม-ทองแดง
 ค) โลหะผสมอะลูมิเนียม-ทองแดงร้อยละ 8 โดยน้ำหนักของ
 ทองแดงที่พบรีสแอลฟ้า-อะลูมิเนียมปูนภูมิ และเฟสู
 เทกติกซีต้า-คอปเปอร์ไดอะลูมิโน่-อะลูมิเนียม
 ก) โลหะผสมอะลูมิเนียม-ทองแดงร้อยละ 10 โดยน้ำหนักของ
 ทองแดงที่พบรีสแอลฟ้า-อะลูมิเนียมปูนภูมิ และเฟสู
 เทกติกซีต้า-คอปเปอร์ไดอะลูมิโน่-อะลูมิเนียม

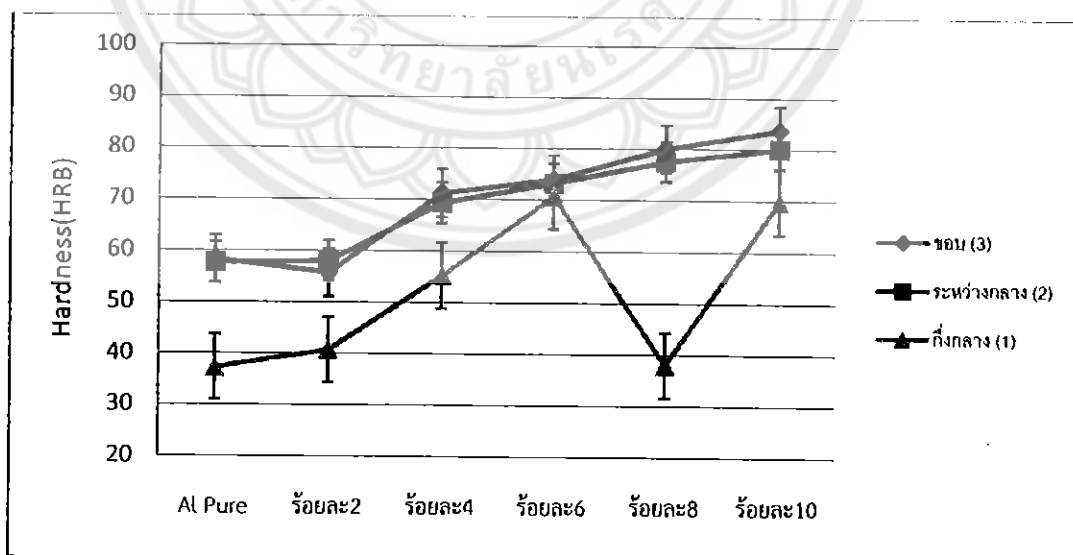
เมื่อวิเคราะห์โครงสร้างด้วย กฎ Lever rule เพื่อหาร้อยละโดยน้ำหนักของโครงสร้าง เพส
 แอลฟ้า-อะลูมิเนียม และเฟสซีต้า-อะลูมิเนียมทองแดง เพื่อเปรียบเทียบความสัมพันธ์ระหว่าง
 โครงสร้างกับค่าความแข็ง ดังตารางที่ 4.1

ตารางที่ 4.1 ผลการคำนวนหาร้อยละโดยน้ำหนักของเฟสแอลฟा-อะลูมิเนียม และซีต้า-คอปเปอร์
ไดอะลูมีนิด ของโลหะผสมอะลูมิเนียม-ทองแดงร้อยละ 2, 4, 6, 8 และ 10 โดย
น้ำหนักของทองแดง

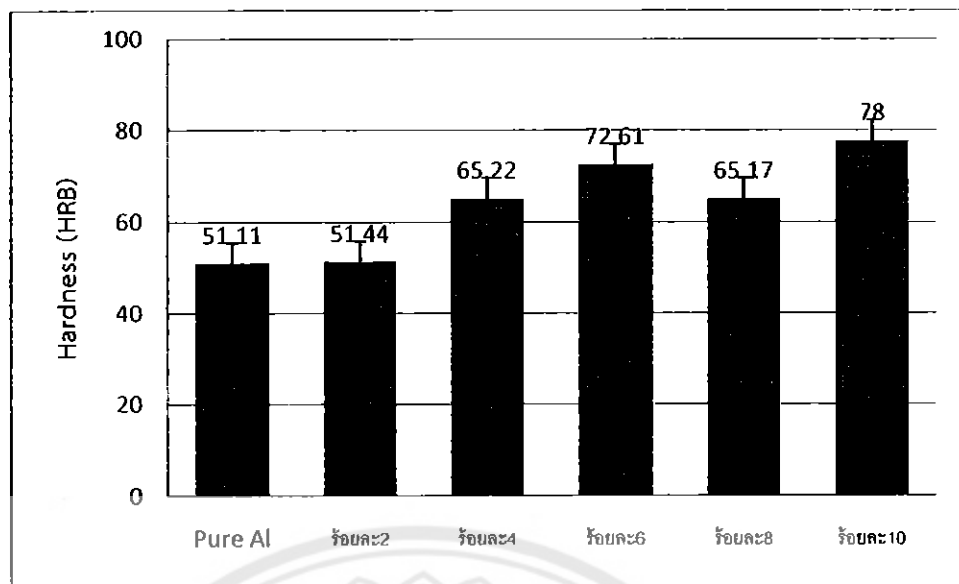
โลหะผสมอะลูมิเนียม-ทองแดง	เฟสแอลฟ่า-อะลูมิเนียม	ซีต้า-คอปเปอร์ไดอะลูมีนิด
ร้อยละ 2	ร้อยละ 100	ร้อยละ 0
ร้อยละ 4	ร้อยละ 99.28	ร้อยละ 0.72
ร้อยละ 6	ร้อยละ 99.25	ร้อยละ 0.75
ร้อยละ 8	ร้อยละ 95.00	ร้อยละ 5.00
ร้อยละ 10	ร้อยละ 90.70	ร้อยละ 9.30

จากข้อมูลดังตารางที่ 4.1 จะเห็นได้ว่าร้อยละการเกิดเฟสซีต้า-คอปเปอร์ไดอะลูมีนิด จะเพิ่มขึ้น ร้อยละ 4 และสูงสุดที่ร้อยละ 10 โดยน้ำหนักทองแดง การเกิดเฟสซีต้า-คอปเปอร์ไดอะลูมีนิดเพิ่มขึ้นตามการผสมทองแดง เนื่องจากทองแดงเป็นโลหะที่มีระบบผลึกเป็น FCC เมื่ອอนกับอะลูมิเนียม จึงมีผลให้สามารถถลละลายได้ดีในอะลูมิเนียม และมีผลให้สมบัติทางกลของอะลูมิเนียมเปลี่ยนแปลงไป

4.6 ผลการทดสอบสมบัติด้านความแข็ง



รูปที่ 4.12 สมบัติทางด้านความแข็งเฉลี่ยที่ดำเนินการทดสอบเดียวกันในอัตราส่วนผสมที่ต่างกัน
ของอะลูมิเนียม-ทองแดง ตามอัตราส่วนทองแดงร้อยละ (อะลูมิเนียมบริสุทธิ์), 2, 4,
6, 8 และ 10 โดยน้ำหนัก



รูปที่ 4.12 สมบัติทางด้านความแข็งเฉลี่ยในอัตราส่วนผสมของอลูมิเนียม-ทองแดง ตามอัตราส่วนผสมทองแดงร้อยละ (อะลูมิเนียมบริสุทธิ์), 2, 4, 6, 8 และ 10 โดยน้ำหนัก

ผลการวิเคราะห์สมบัติด้านความแข็ง

จากการทดสอบค่าความแข็งของชิ้นงานอะลูมิเนียมบริสุทธิ์ และโลหะผสมอะลูมิเนียม-ทองแดงร้อยละ 2, 4, 6, 8 และ 10 โดยน้ำหนักของทองแดง สามารถดูได้จากตารางที่ ข.1

จากรูป 4.11 จะสังเกตได้ว่าส่วนกึ่งกลางชิ้นทดสอบจะมีค่าความแข็งน้อยกว่าบริเวณขอบชิ้นงานทดสอบ และระยะระหว่างกลาง เป็นผลจากการเย็นตัวของน้ำโลหะที่สัมผัสผิวแม่พิมพ์ในขณะที่บริเวณกึ่งกลางน้ำโลหะเย็นตัวอย่างช้าๆ ขนาดของเกรนที่ติดกับผิวแม่พิมพ์ นั้นจะมีขนาดเล็ก และละเอียดทำให้มีความแข็งสูง ในการเพิ่มส่วนผสมของทองแดงที่เพิ่มขึ้นจะทำให้ค่าความแข็งของโลหะผสมอะลูมิเนียม-ทองแดง เพิ่มจากการเกิดเฟซซีต้า-คอปเปอร์โดยอัลูมิโนด์ ที่เพิ่มขึ้นตามขอบเกรนของเฟสแอลfa-อะลูมิเนียม ถึงแม้ว่าจะมีบางส่วนผสมที่มีค่าลดลง เนื่องจากเกิดความบกพร่องในชิ้นงานแต่สามารถที่จะสรุปได้ว่าชิ้นงานมีความแข็งเพิ่มขึ้นตามการผสมทองแดง จากรูปที่ 4.12 สมบัติทางด้านความแข็งเฉลี่ยในอัตราส่วนผสมของอะลูมิเนียม-ทองแดง ตามอัตราส่วนผสมทองแดงร้อยละ 0 (อะลูมิเนียมบริสุทธิ์), 2, 4, 6, 8 และ 10 โดยน้ำหนัก

บทที่ 5

บทสรุป และข้อเสนอแนะ

5.1 บทสรุป

5.1.1 จากหล่อโลหะอะลูมิเนียมบริสุทธิ์ และโลหะผสมอะลูมิเนียม-ทองแดงร้อยละ 2,4,6,8 และ 10 โดยน้ำหนักของทองแดง และทำการตรวจสอบโครงสร้างทางจุลภาค พบว่าโครงสร้างของอะลูมิเนียมบริสุทธิ์ มีเฟสแอลฟा-อะลูมิเนียมปฐมภูมิ แตกต่างจากโครงสร้างของโลหะผสมอะลูมิเนียม-ทองแดงร้อยละ 2 ซึ่งมีโครงสร้างเฟสแอลฟ่า-อะลูมิเนียมปฐมภูมิ และเฟสแอลฟ่า ที่มีทองแดงละลายได้อย่างสมบูรณ์ อยู่ระหว่างขอบเกรนของเฟสแอลฟ่า-อะลูมิเนียม และที่การผสมของร้อยละ 4, 6, 8 และ 10 โดยน้ำหนักของทองแดง จะพบร่องรอยของเฟสแอลฟ่า-อะลูมิเนียม เป็นเฟสพื้นหรือเฟสปฐมภูมิ และเฟสยูเทกติกซีต้า-คอปเปอร์ไดอะลูมิโน่-อะลูมิเนียม จับตัวอยู่ระหว่างของเกรนเฟสแอลฟ่า-อะลูมิเนียมปฐมภูมิ ผลมาจากการแยกตัวของอัตราการแปรผันของทองแดงมาจับตัวกันที่อุณหภูมิต่ำกว่า 548 องศาเซลเซียส และจะมีปริมาณเพิ่มมากขึ้นมากปริมาณการผสมทองแดงที่เพิ่มขึ้น มีลักษณะเกรนแบบเด่นได้รบทน้ำด้วย และจะมีขนาดเล็กลงตามการผสมทองแดงที่เพิ่มขึ้น

5.1.2 จากการทดสอบความแข็งพบร่วมกับกลวงขั้นทดสอบจะมีค่าความแข็งน้อยกว่าบริเวณระหว่างกลวง และบริเวณขอบขั้นทดสอบ จำกัดความแข็งของแต่ละส่วนผสมสอดคล้องกับค่าความแข็งที่เพิ่มขึ้นตามการผสมทองแดงที่เพิ่มขึ้น และปริมาณเฟสยูเทกติกซีต้า-คอปเปอร์ไดอะลูมิโน่ ส่งผลต่อสมบัติความแข็ง แต่ในผลการทดสอบนั้นมีค่าบางค่าที่แสดงผลออกมากแปรปรวนจากกลุ่มผลทดสอบนั้น ด้วยเหตุผลจากความบกพร่องของขั้นงาน ชนิด รูปรุน หรือโครงอากาศในกระบวนการหล่อขึ้นรูปขั้นงานทดสอบ ซึ่งเกิดจากการมีปริมาณก๊าซในน้ำโลหะลดลงเหลวมากเกินไปในขั้นตอนเน้นน้ำโลหะสูญพิมพ์ไม่สามารถเคลื่อนตัวออกได้ทันระยะเวลาการแข็งตัว

5.2 ข้อเสนอแนะ และการพัฒนา

5.2.1 การเพิ่มความแข็งให้อะลูมิเนียม นั้นสามารถใส่ธาตุอื่นผสมเพื่อให้ได้สมบัติความแข็งหรือใส่ธาตุผสมมากกว่า 1 ชนิดได้ขึ้นกับผู้พัฒนาสนับสนุนหรือตามจุดประสงค์ในความต้องการใช้งาน

5.2.2 ในการหล่อโลหะผสมโดยแม่พิมพ์ถาวร ควรคำนึงถึงอากาศภายในน้ำโลหะในระหว่างการเท ควรออกแบบแม่พิมพ์ หรือการเน้นน้ำโลหะที่ลดการแปรปรวนในน้ำโลหะ หรือใช้ความดันช่วยส่งน้ำโลหะเข้าสู่แบบ เพื่อไม่ให้น้ำโลหะกักอากาศไว้ภายใน เพื่อการบกพร่องของขั้นงาน

5.3 ปัญหาที่พบ และแนวทางการแก้ปัญหา

5.3.1 ไม่สามารถใช้วัสดุ หรืออุปกรณ์ได้ตลอดเวลา เพราะข้อจำกัดของการเปิด และปิดอาคาร ปฏิบัติการวิศวกรรมอุตสาหการ จึงควรต้องวางแผนการดำเนินงานอย่างรอบคอบ และตรงเวลา

5.3.2 การใช้เตาหยอดโลหะที่อุณหภูมิสูง เมื่อนำขึ้นงานออกจากเตา อาจทำให้ผู้ปฏิบัติงาน เกิดอันตรายได้ ฉะนั้นเราจึงควรใส่อุปกรณ์ที่ป้องกันความร้อนทุกครั้ง

5.3.3 การเตรียมขั้นงานโดยใช้เครื่องตัด ทำให้ขั้นงานไม่ได้ระนาบ จึงยากต่อการขัด จึงควรนำ ขั้นงานไปปรับระนาบ ก่อนนำไปขัดทุกครั้ง

5.3.4 ขั้นงานที่ได้หลังจากการหล่อขึ้นรูปมีจุดบกพร่อง ชนิดรูพรุน มีพองอากาศอยู่ในขั้นงาน บางขั้นงาน ในการแก้ปัญหาการศึกษาออกแบบแบบแม่พิมพ์โดยคำนึงถึงปัญหานี้ และสร้างแม่พิมพ์ขึ้น ใหม่เพื่อไม่ให้เกิดปัญหานี้โดยทำการดูษภูมิการออกแบบแบบแม่พิมพ์



เอกสารอ้างอิง

เจนณรงค์ จันทร์, สุรพล ปัญญาแก้ว. (2547). การศึกษาการแทกร้าวในขณะร้อนของโลหะ ผสมอัลูมิเนียม-ทองแดง. โครงการนักศึกษา สถาบันเทคโนโลยีพระจอมเกล้าพระนครเหนือ, กรุงเทพฯ.

ชาลิต เชียงกุล. (2542). โลหะวิทยา (พิมพ์ครั้งที่2). บริษัท ส.เอเชียเพรส จำกัด.

มนัส สติรัตนดา. (2543). โลหะนอกกลุ่มเหล็ก (พิมพ์ครั้งที่4). จุฬาลงกรณ์มหาวิทยาลัย.

วิหาร ดีปัญญา. (2548). วิศวกรรมการหล่อโลหะ (พิมพ์ครั้งที่1). สำนักพิมพ์โอเดียนสโตร์.

หริส สุตตะบุตร และเคนยิ จิยอิวา (2543). หล่อโลหะ. (พิมพ์ครั้งที่ 5). สำนักพิมพ์ดวงกมล จำกัด,

Metals Hand Book. ASTM B 108. page 1159. (1948). Cleveland: American Society for Metals.





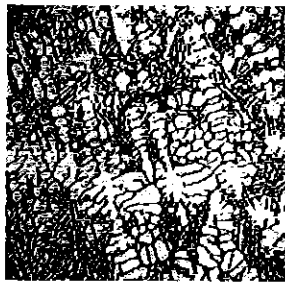
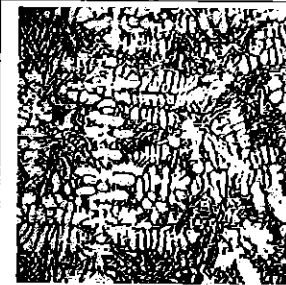
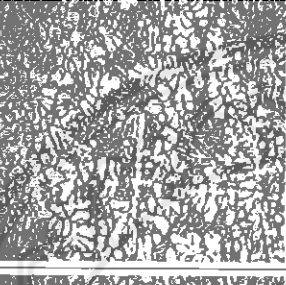
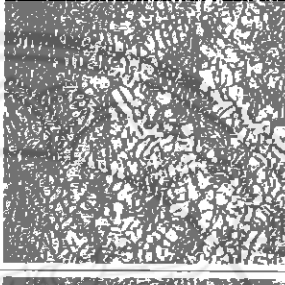
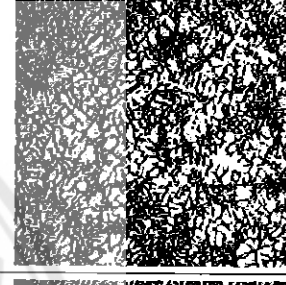
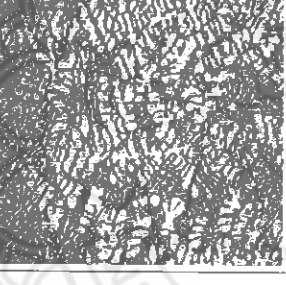
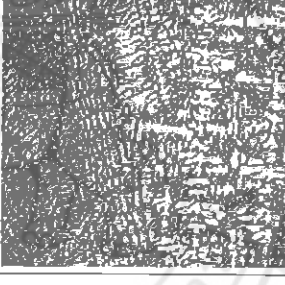
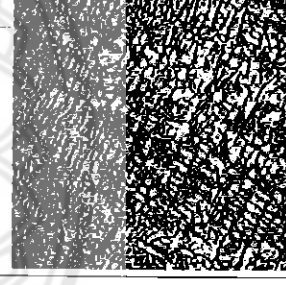
ตารางที่ ก.1 ผลการศึกษาโครงสร้างของโลหะผสมอะลูมิเนียม-ทองแดง ที่อัตราผสมอะลูมิเนียม
ปริสุทธิ์

	จุดที่ 1	จุดที่ 2	จุดที่ 3
ชิ้นส่วน ทดสอบ ส่วนบน			
ชิ้นส่วน ทดสอบ ส่วนกลาง			
ชิ้นส่วน ทดสอบ ส่วนล่าง			

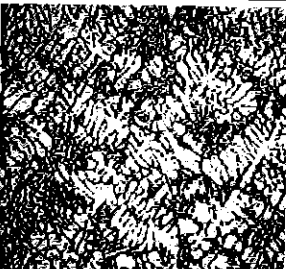
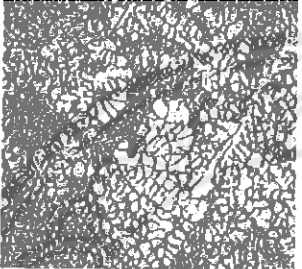
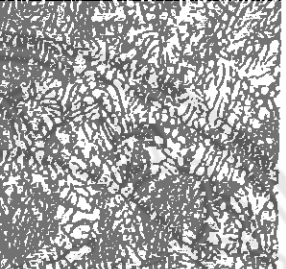
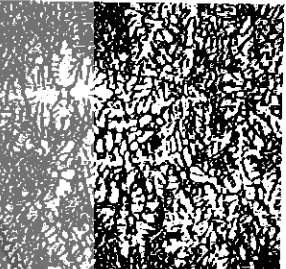
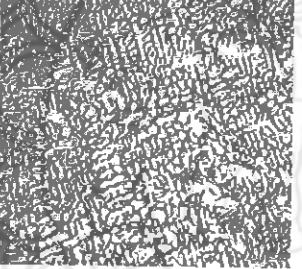
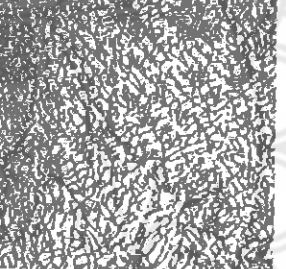
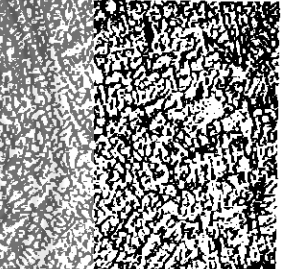
ตารางที่ ก.2 ผลการศึกษาโครงสร้างของโลหะผสมอัลูมิเนียม-ทองแดง ที่อัตราสมรรถภาพละ 2 โดยน้ำหนักของทองแดง

	จุดที่ 1	จุดที่ 2	จุดที่ 3
ชิ้นส่วน ทดสอบ ส่วนบน			
ชิ้นส่วน ทดสอบ ส่วนกลาง			
ชิ้นส่วน ทดสอบ ส่วนล่าง			

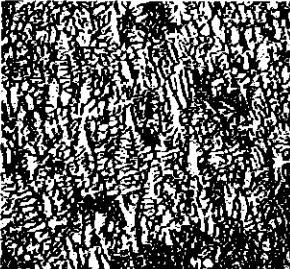
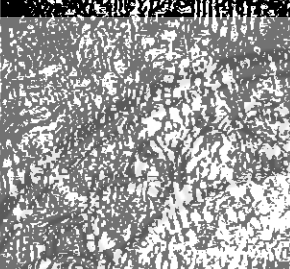
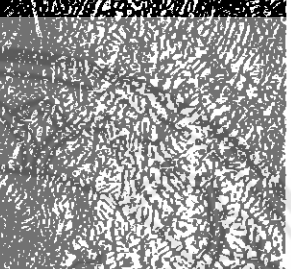
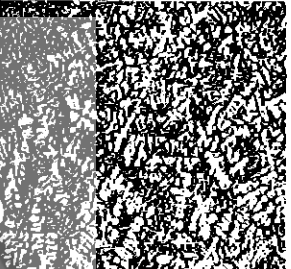
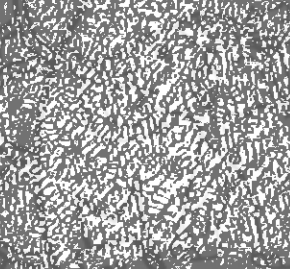
ตารางที่ ก.3 ผลการศึกษาโครงสร้างของโลหะผสมอะลูมิเนียม-ทองแดง ที่อัตราสมรร้อยละ 4 โดยน้ำหนักของทองแดง

	จุดที่ 1	จุดที่ 2	จุดที่ 3
ชิ้นส่วน ทดสอบ ส่วนบน			
ชิ้นส่วน ทดสอบ ส่วนกลาง			
ชิ้นส่วน ทดสอบ ส่วนล่าง			

ตารางที่ ก.4 ผลการศึกษาโครงสร้างของโลหะผสมอะลูมิเนียม-ทองแดง ที่อัตราสมรร้อยละ 6 โดยน้ำหนักของทองแดง

	จุดที่ 1	จุดที่ 2	จุดที่ 3
ชิ้นส่วน ทดสอบ ส่วนบน			
ชิ้นส่วน ทดสอบ ส่วนกลาง			
ชิ้นส่วน ทดสอบ ส่วนล่าง			

ตารางที่ ก.5 ผลการศึกษาโครงสร้างของโลหะผสมอะลูมิเนียม-ทองแดง ที่อัตราสมรรถนะ 8 โดยน้ำหนักของทองแดง

	จุดที่ 1	จุดที่ 2	จุดที่ 3
ชิ้นส่วน ทดสอบ ส่วนบน			
ชิ้นส่วน ทดสอบ ส่วนกลาง			
ชิ้นส่วน ทดสอบ ส่วนล่าง			

ตารางที่ ก.6 ผลการศึกษาโครงสร้างของโลหะผสมอะลูมิเนียม-ทองแดง ที่อัตราสมรรถภาพ 10 โดยน้ำหนักของทองแดง

	จุดที่ 1	จุดที่ 2	จุดที่ 3
ชิ้นส่วน ทดสอบ ส่วนบน			
ชิ้นส่วน ทดสอบ ส่วนกลาง			
ชิ้นส่วน ทดสอบ ส่วนล่าง			



ตารางที่ ช.1 ตารางแสดงบันทึกค่าความแข็งของขั้นงานทดสอบอะลูมิเนียม-ทองแดงที่อัตราส่วนผสมอย่าง 2, 4, 6, 8 และ 10 โดยนำหนักของทองแดง

ผcents ของอลูมิเนียม	ผลของการทดสอบ	ลักษณะ	กล่อง	ปน	ต่อหน่วย			Pure Aluminium HRB	2% wt Cu HRB			4% wt Cu HRB			6% wt Cu HRB			8% wt Cu HRB			10% wt Cu HRB																																												
					1	2	3		1	2	3	1	2	3	1	2	3	1	2	3	1	2	3																																										
51.11	51.44	65.22	72.61	65.17	78	37.3	37	43	32	57.7	62	58	53	55.7	65	49	53	55.2	63	32	70.5	69.3	72	66	70	71.2	72.5	69	72	70.7	78	66.5	67.5	73.2	74.5	73.5	71.5	74.0	77	69	76	38.0	10.5	34.5	69	77.5	80	72	80.5	80.0	82.5	82	75.5	69.8	58	70	81.3	80.0	85	80	75	83.7	82	88	81

ประวัติผู้ดำเนินโครงการ



ชื่อ นายอภินันท์ ชัยทรัพย์มงคล
ภูมิลำเนา 11 หมู่ 15 ต. บางหญ้าแพรก อ. พระประแดง
จ. สมุทรปราการ

ประวัติการศึกษา

- จบระดับมัธยมศึกษาจากโรงเรียนวัดทรงธรรม
- ปัจจุบันกำลังศึกษาในระดับปริญญาตรีชั้นปีที่ 6
สาขาวิศวกรรมวัสดุ คณะวิศวกรรมศาสตร์
มหาวิทยาลัยเรศวร

E-mail: watsadusad@hotmail.com



ชื่อ นายเฉลิมพล พังแสงสุ
ภูมิลำเนา 365/9 หมู่ 4 ต. ranee อ. เมือง
จ. สุโขทัย

ประวัติการศึกษา

- จบระดับมัธยมศึกษาจากโรงเรียนสุโขทัย
วิทยาคม จ.สุโขทัย
- ปัจจุบันกำลังศึกษาในระดับปริญญาตรีชั้นปีที่ 5
สาขาวิศวกรรมวัสดุ คณะวิศวกรรมศาสตร์
มหาวิทยาลัยเรศวร

E-mail: ty_fruity@hotmail.com